

1987

H_2

1987

108: 27055g On the existence of arbitrary four-body (or quasi-four-body) molecules. Abdel-Raouf, M. A. (Friedrich-Alexander-Univ. Erlangen-Nuernberg, D-8520 Erlangen, Fed. Rep. Ger.). *Z. Phys. D: At., Mol. Clusters* 1987, 6(4), 345-9 (Eng). A theorem was proved, which shows that the existence of H_2 and Ps_2 (Ps = positronium) mols. is a sufficient condition for the existence of arbitrary 4-body (or quasi-4-body) mols. The bound-states of H_2 and Ps_2 are rigorous lower and upper bounds, resp., for the exact energies of the bound-state of all other previously mentioned mols. The consequences of the preceding theorem and corollary in astrophysics, solid-state physics, and quantum chem. are briefly discussed.

81 (7) P_3



C.A. 1988, 108, NY

H_2

1987

4 Л258. Влияние вращательного взаимодействия на вероятность излучения полос систем Лаймана и Вернера в ВУФ-спектре H_2 . Effect of rotational coupling on emission probabilities of Lyman and Werner band systems of the vacuum ultraviolet spectrum of H_2 . Abgrall Hervé, Launay Françoise, Roueff Evelyne, Roncin Jean-Yves. «J. Chem. Phys.», 1987, 87, № 4, 2036—2044 (англ.)

Различными методами рассчитаны отношения вероятностей излучения вращательных линий в полосах систем Лаймана и Вернера, $B^1\Sigma_u^+ - X^1\Sigma_g^+$ и $C^1\Pi_u - X^1\Sigma_g^+$ молекулы H_2 . Результаты расчетов сопоставлены с эксперим. данными, полученными при высоком разрешении. Анализ результатов показал существенное влияние вращательных состояний B и C на отношение интенсивностей вращательных линий P - и Q -ветвей. Обсуждены вопросы справедливости нумерации ряда уровней состояний B и C . Библ. 37.

В. С. Иванов

φ. 1988, 18, N 4

H_2

1987

17 Б1159. Пороговые исследования H_2 в вакуумной ультрафиолетовой области методом электронного удара. Threshold studies of H_2 in the vacuum ultraviolet by electron impact. A jello J. M.; Shemansky D. E., James G. K. «15th Int. Conf. Phys. Electron. and Atom. Collis.», Brighton, 1987. Belfast, 1987, 305 (англ.)

Измерены ф-ции возбуждения электронным ударом (с энергией до 100 эВ) полос Лаймана и перехода $a^3\Sigma_g^+ \rightarrow b^3\Sigma_u^+$, H_2 в пучке. Выделены три диапазона энергии для ф-ции возбуждения полос Лаймана, в к-рых преобладают след. процессы: 11—14 эВ — резонансное возбуждение (резонансы Фешбаха) через образование иона H_2^- с последующим автоионизацией отщеплением электрона и образованием $H_2(B^1\Sigma_u^+)$; 14—18 эВ — каскадные процессы из состояния E , $F^1\Sigma_g^+$; 18—100 эВ — прямое возбуждение. Колебат. структура перехода $B^1\Sigma_u^+ \rightarrow X^1\Sigma_g^+$, H_2 в первом случае заметно отличается от наблюдаемой при прямом и каскадном возбуждении.

В. М. Ковба

X. 1988, 19, N 17.

H_2

1987

1 Б1006. Адиабатические энергии и радиальное связывание состояний симметрии $^3\Sigma_u^+$ молекулы H_2 . Adiabatic energies and radial couplings of the $^3\Sigma_u^+$ states of H_2 . Borondo F., Martin F., Yáñez M. «J. Chem. Phys.», 1987, 86, № 9, 4982—4989 (англ.)

В адиабатическом приближении рассчитаны кривые потенциальной энергии для первых шести электронных состояний симметрии $^3\Sigma_u^+$ молекулы H_2 в диапазоне межъядерных расстояний $1 \leq R \leq 30$ ат. ед. Обнаружена новая серия квазипересечений потенциальных кривых в области $R \leq 5$ а. е. Рассчитана и обсуждена зависимость от R матричных элементов оператора радиального связывания $\partial/\partial R$ для различных пар электронных состояний, предложена простая аналитическая модель для описания этой зависимости.

В. Б. Павлов-Веревкин

X. 1988, 19, N1.

1987

1 Д113. Адиабатические энергии и радиальные взаимодействия состояний ${}^3\Sigma^+$ молекулы H_2 . Adiabatic energies and radial couplings of the ${}^3\Sigma_u^+$ states of H_2 . Bondono F., Martin F., Yáñez M. «J. Chem. Phys.», 1987, 86, № 9, 4982—4989 (англ.)

Методом конфигурац. взаимодействия в адиабатич. приближении рассчитаны потенц. кривые шести электронных состояний симметрии ${}^3\Sigma^+$ молекулы водорода при межъядерных расстояниях от 1 до 30 ат. ед. Для первых четырех состояний рассчитаны также радиальные матричные элементы взаимодействия, необходимые при рассмотрении реакций возбуждения: $\text{H}(1s) + \text{H}(1s) \rightarrow \text{H}(2s) + \text{H}(1s) \rightarrow \text{H}(2p) \rightarrow \text{H}(1s)$. Предложена простая модель для описания взаимодействия состояний ${}^2\Sigma^+$ и ${}^3\Sigma^+$. Построенные корреляционные диаграммы объединенный атом — разделенные атомы позволили также проследить возможные случаи квазипересечения диабатических потенц. кривых. H_2 .

А. И. Дементьев

φ. 1988, 18, N/

H_2

1987

4 Л133. Прецизионная спектроскопия водорода и дейтерия. Precision spectroscopy of hydrogen and deuterium. Boshier M. G., Baird P. E. G., Foot C. J., Hinds E. A., Plimmer M. D., Stacey D. N., Swan J. B., Tate D. A., Warrington D. M., Woodgate G. K. «Nature», 1987, 330, № 6147, 463—465 (англ.)

Измерены частоты двухфотонного перехода $1s-2s$ в водороде и дейтерии. Использовалось прохождение через резонанс удвоенного по частоте излучения непрерывного лазера длиной волны 486 нм с индикацией резонанса путем детектирования Лайман-альфа излучения. С использованием известного значения постоянной Ридберга из измеренной частоты найден лэмбовский сдвиг уровня $1s$ с. большей в 35 раз точностью, чем в прежних измерениях. Получено хорошее согласие с теорией при несколько большей погрешности

Л.Н.

φ. 1988, 18, N4

эксперим. значения по сравнению с теоретическим.
И обратно принимая теоретич. значение лэмбовского
сдвига найдена постоянная Ридберга с погрешностью
в 3 единицы в 5 знаке после запятой. Найдена также
величина изотопич. сдвига H—D $1s-2s$ 670994,4(9)
при теоретич. значении 670994,48(10) МГц. Библ. 20.

А. Н. Рябцев

H_2

(M. 26071) 1987

16 Б1194. Лазерная спектроскопия высокого разрешения H_2 в быстром пучке. High-resolution laser spectroscopy of H_2 in a fast beam. Вјегге N., Helm H. «Chem. Phys. Lett.», 1987, 134, № 4, 361—365 (англ.)

Измерена СТ и СТС нек-рых линий в полосе 2—2 ридберговского перехода $1s\ 3dg^3\Sigma_g^+ \leftarrow 1s2pc^3\Pi_u^- H_2$. Пучок ионов H_2^+ из источника ускорялся, перезаряжался на парах Cs ($H_2^+(v') + Cs \rightarrow H_2(c^3\Pi_u, v'') + Cs^+ + \Delta E$) и далее получавшиеся молекулы $H_2(c^2\Pi_u)$ возбуждались коллинеарно вводимым излучением перестраиваемого лазера на уровнях триплетных ридберговских состояний $1s3s$ и $1s3d$, лежавшие ниже диссоциационного предела $H(1s) + H(2l)$. В результате излучат. рас-

М.Н.

Х. 1987, 19, N/6

пада H_2 в отталкиват. состоянии $g^3\Sigma_g^+ \rightarrow b^3\Sigma_u^+$ и диссоциации получались фрагменты $\text{H}(1s)$ с большой кинетич. энергией, к-рые регистрировались детектором расположенным вне оси пучка. На основании известных вращат. параметров и параметров СТС H_2 в состояниях c и g проведено моделирование спектра. Результаты сопоставляются со сверхтонкими расщеплениями в ионе H_2^+ .

В. М. Ковба

H_2

1987

' 107: 84219s Adiabatic energies and radial couplings of the
 $^3\Sigma_u^+$ states of molecular hydrogen. Borondo, F.; Martin, F.

Yanez, M. (Fac. Cienc., Univ. Auton. Madrid, Cantoblanco, Spain
28049). *J. Chem. Phys.* 1987, 86(9), 4982-9 (Eng). Potential-energy
curves were calcd. for the $^3\Sigma_u^+$ states of the H_2 mol. for internuclear
distances of $R = 1\text{-}30$ at. units (a.u.). The features of the correlation
diagram are discussed; a new series of avoided crossings for $R < 5$ a.u.
are predicted. Radial couplings were calcd., which are of interest in
study of the excitation process $H(1s) + H(1^{\circ}) \rightarrow H(2s,2p) + H(1s)$.
A simple anal. model is given, which accounts for the $^2\Sigma_u^+ - 3^3R_u^+$
interaction.

meop. pacell
not eff. Kallie

c.A.1987, 107, N10

H_2

1987

Böse H., Förster H.,
et al.

et al.

Chem. Phys. Lett.,
1987, 138, NS, 401-404.

($\text{ee}e, \text{O}_2; ^{11}\bar{1}$)

H₂

1987

7 Л172. Спектроскопия высокого разрешения штарковской структуры линии водорода Лайман- α с использованием одномодовой импульсной лазерной системы в вакуумной УФ-области. High resolution spectroscopy of the hydrogen Lyman- α line Stark structure using a VUV single mode pulsed laser system. Cabaret L., Delsart C., Blondel C. «Opt. Commun.», 1987, 61, № 2, 116—119 (англ.)

С использованием новой лазерной системы для ВУФ-области спектра выполнено исследование штарковской структуры линии L_{α} атома водорода. Основу системы составляет непрерывный, узкополосный ($\Delta\nu \approx 40$ мГц) кольцевой лазер на красителе с накачкой аргоновым лазером и дополнительной накачкой мощным импульсным ИАГ—Nd-лазером (0,5 Дж в импульсе). После усиления в трехкаскадном усилителе излучение удваивается на кристалле КДП и утраивается в газовой кювете (Кг или смесь Ag+Kg). Комбинация кольцевого

III

φ. 1987, 18, № 7

лазера с мощной импульсной накачкой позволила получить хорошие характеристики перестраиваемого излучения ($\Delta\nu \approx 240$ мГц) и высокую пиковую мощность в ВУФ-области (≈ 10 Вт). Приведена зависимость штарковского сдвига от напряжения внешнего поля (0—5000 В), которая хорошо совпадает с расчетной. М. А.



1987

М2

5 Б1191. Фотоионизация молекулярных ридберговских состояний. H_2 , состояние $C^1\Pi_n$ и дважды возбужденные состояния. Photoionization of molecular Rydberg states: H_2 , $C^1\Pi_n$ and its doubly excited states. Chupka William A. «J. Chem. Phys.», 1987, 87, № 3, 1488—1498 (англ.)

Объяснены аномалии в фотоэлектронных спектрах (ФЭС) при однофотонной ионизации невозмущенных одноконфигурац. ридберговских состояний молекул. Часть из них вызвана куперовскими минимумами и резонансами формы в сечениях фотоионизации. Более сильные эффекты обусловлены возбуждением ионного остова с образованием дважды возбужденных состояний. Обсуждены х-ки распада таких состояний и их влияние на ФЭС. В кач-ве примера аномального ФЭС рассмотрена резонансная многофотонная ионизация H_2 через состояние $C^1\Pi_u$, сопровождающаяся возбуждением и автоионизацией состояния $^1\Pi_g(2p\sigma)(2p\pi)$. Предсказано образование при этом возбужденных атомов водорода. Рассмотрена проблема разделения ионов в отдельных состояниях.

В. М. Ковба

Х. 1988, 19, N5

H_2

1987

20 Б1154. Расчет частот спектральных переходов изолированных в матрицах примесей H_2 , D_2 и HD в твердых Kr и Xe под давлением. Calculation of the spectral transition frequencies of matrix-isolated H_2 , D_2 , and HD impurities in solid Kr and Xe under pressure. Chandrasekharan V., Chergui M., Silvi B., Etters R. D. «J. Phys. Chem.», 1987, 91, № 6, 1623—1628 (англ.)

В рамках предложенной ранее теоретич. модели (Phys. Rev. B: Condens. Matter, 1986, 33, 2749) рассчитаны частоты колебат., вращат. и колебательно-вращат. переходов молекул H_2 , D_2 и HD, изолированных в матрицах из Kr и Xe при низких т-рах и давл. $0 < P < 570$ кбар. Проанализирована зависимость частот локальных колебаний молекул примесей от давл. Показано, что чисто колебат. и колебательно-вращат. переходы в тв. фазе существенно (для $Q_1(0)$ на $32-38 \text{ см}^{-1}$ в Kr и $41-46 \text{ см}^{-1}$ в Xe) сдвинуты в длиноволновую область при $P=0$ отно-

$M.N.$

(X) (72)

X. 1987, 19, N 20

сит. газ. фазы. Для чисто врацат. переходов сдвиги гораздо меньше ($2-3 \text{ см}^{-1}$). Отмечено в целом удовлетворит. согласие с имеющимися эксп. данными по ИК- и КР-спектрам. Установлено, что при увеличении давл. низкочастотные сдвиги частот переходов уменьшаются и при давл. 70—80 кбар переходят в высокочастотные, к-рые достигают $\sim 400 \text{ см}^{-1}$ при ~ 500 кбар.

С. Б. Осин

H₂

1987

№ 20 Б1154. Расчет частот спектральных переходов изолированных в матрицах примесей H₂, D₂ и HD в твердых Kr и Xe под давлением. Calculation of the spectral transition frequencies of matrix-isolated H₂, D₂, and HD impurities in solid Kr and Xe under pressure. Chandrasekharan V., Chergui M., Silvi B., Etters R. D. «J. Phys. Chem.», 1987, 91, № 6, 1623—1628 (англ.)

В рамках предложенной ранее теоретич. модели (Phys. Rev. B: Condens. Matter, 1986, 33, 2749) рассчитаны частоты колебат., вращат. и колебательно-вращат. переходов молекул H₂, D₂ и HD, изолированных в матрицах из Kr и Xe при низких т-рах и давл. $0 < P < 570$ кбар. Проанализирована зависимость частот локальных колебаний молекул примесей от давл. Показано, что чисто колебат. и колебательно-

M.N.

f2

X

X.1987, 19, № 20

вращат. переходы в тв. фазе существенно (для $Q_1(0)$) на $32-38 \text{ см}^{-1}$ в Kr и $41-46 \text{ см}^{-1}$ в Xe) сдвинуты в длинноволновую область при $P=0$ относит. газ. фазы. Для чисто вращат. переходов сдвиги гораздо меньше ($2-3 \text{ см}^{-1}$). Отмечено в целом удовлетворит. согласие с имеющимися эксп. данными по ИК- и КР-спектрам. Установлено, что при увеличении давл. низкочастотные сдвиги частот переходов уменьшаются и при давл. 70—80 кбар переходят в высокочастотные, к-рые достигают $\sim 400 \text{ см}^{-1}$ при $\sim 500 \text{ кбар}$.

С. Б. Осин

H_2

1987

Cosby P.C., Helm H.,
15th Int. Conf. Phys.

spomoppar- Electron. and Atom.
euthm.
crekmpo- Collis., Brighton, 1987.
ekorur. Belfast, 1987, 62.

(ccc. H_2^+ ; iii)

H_2

1987

У 24 Б1024. Теоретические исследования импульсных плотностей для молекулярного водорода. Theoretical investigations of the momentum densities for molecular hydrogen. Defranceschi M. «Chem. Phys.», 1987, 115, № 3, 349—358 (англ.)

Представлены результаты численного решения ур-ний Хартри—Фока и ур-ний метода МК ССП в импульсном представлении для основного состояния молекулы H_2 . Проанализированы графики волновых ф-ций, электронной плотности и разностной плотности (молек. за вычетом атомных вкладов). Теорет. результаты сопоставлены с эксперим. данными ($e, 2e$)-спектроскопии. Показано, что для H_2 корреляц. эффекты мало влияют на распределение плотности.

А. В. Немухин

(М.Н.)

X. 1987, 19, N 24

H_2

1987

1 Л398 ДЕП. Изучение изотопного эффекта в вероятностях $d^3\Pi_u^-$, v' , $N \rightarrow a^3\Sigma_g^+$, v'' , N спонтанного излучения молекул H_2 и D_2 . Драчев А. И., Лавров Б. П., Поздеев Л. Л.; Ред. ж. «Вестн. ЛГУ. Физ., химия» Л., 1987. (Рукопись деп. в ВИНИТИ 24.09.87, № 6847—B87)

Для проверки адекватности и развития теоретич. моделей, используемых при полуэмпирич. определении вероятностей электронно-колебательно-вращательных радиационных переходов, предложено проводить сравнительный оптимизационный анализ эксперим. данных, полученных по спектрам двух и более изотопов. Впервые измерены относит. вероятности $d^3\Pi_u^-$, v' , $N \rightarrow a^3\Sigma_g^+$, v'' , N спонтанного излучения молекулы D_2 и получены новые данные о тех же переходах в молекуле H_2 . Сравнительный оптимизационный анализ этих данных показал, что в существенной области межъядер-

H_2

(1) X

cf. 1988, 18, N/

D_2

ных расстояний электронные моменты перехода для H_2 и D_2 одинаковы. Тем самым показано, что изотопный эффект в вероятностях указанных переходов молекулы водорода в пределах точности эксперимента адекватно описывается в рамках адиабатич. приближения. Получены наиболее надежные данные о матрицах вероятностей $d^3\Pi_u^-$, v' , $N \rightarrow a^3\Sigma_g^+$, v'' , N спонтанного излучения и радиационных временах жизни уровней молекул H_2 , HD , D_2 .

Автореферат



H_2

1987

(g)

106: 165147y Multiphoton excitation of high singlet np Rydberg states of molecular hydrogen: Spectroscopy and dynamics. Glab, Wallace L.; Hessler, Jan P. (Chem. Div.; Argonne Natl. Lab., Argonne, IL 60439 USA). *Phys. Rev. A: Gen. Phys.* 1987, 35(5), 2102-10 (Eng). Two-step, 2-color excitation was used to populate high *np* singlet Rydberg states of H under elec.-field-free conditions. Sub-Doppler resoln. was obtained by exciting the $X^1\Sigma_g^+ \rightarrow E^1\Sigma_g^+$ 2-photon transition with copropagating photons, then further exciting the mols. to high Rydberg states with a narrow-band laser. Transitions to states were obsd. to $n \lesssim 90$ for the Rydberg series which converge to the 2 lowest ionization limits. From an anal. of the energies of the obsd. transitions new results were obtained for the 1st 2 ionization potentials of H₂, with high accuracy. The new values are $124,417.61 \pm 0.07 \text{ cm}^{-1}$ for para-H and $124,475.94 \pm 0.07 \text{ cm}^{-1}$ for ortho-H. Some of the Rydberg states predissociate strongly, apparently due to the influence of perturbing states of low principle quantum no.

C. A. 1987, 106, N20.

H_2

1987

| 9 Л452. Исследование с высоким разрешением диссоциативного фотопоглощения и флуоресценции в H_2 . High resolution study of photoabsorption photodissociation and fluorescence in H_2 . Glass-Maujean M., Breton J., Guyon P. M. «Z. Phys.», 1987, D5, № 3, 189—201 (англ.)

С разрешением 0,07—0,05 Å получены спектры поглощения и возбуждения флуоресценции (молекулярной и осколочной) для H_2 в области 765—850 Å. Выполнен обзор ранее полученных результатов по исследованию сечений и квантовых выходов диссоциации и вероятностей преддиссоциации. Обсуждены новые результаты по преддиссоциации уровней $pr\sigma\Sigma_u^+$. Проанализированы имеющиеся данные по радиационным переходам преддиссоциации и автоионизации H_2 .
Библ. 35.

В. С. Иванов

сф. 1987, № 18, № 9

H_2

1987

4 Д120. Является ли основное состояние ${}^2\Sigma_g^- H_2^-$ связанным? Метод валентных связей. A bound ${}^2\Sigma_g^+$ ground state for H_2^- ? A valence-bond study. Нагсорт Richard D. «J. Phys. B: Atom. and Mol. Phys.», 1987, 20, № 19, L617—L627 (англ.)

С помощью воли. ф-ции вида $\psi(H_2^-) = \psi(H_2, e) + +\mu\{\psi(H-H) + \psi(HH^-)\} + v\{\psi(H^2-H) + \psi(HH^{2-})\}$ показано, что основное состояние с симметрией ${}^2\Sigma_g^+$ является связанным по отношению к основному состоянию H_2 и свободному электрону. Ф-ция (H_2, e) описывает электрон на 1s диффузной орбите, центрированной между протонами. При использовании для описания H_2 воли. ф-ции Вейнбаума с 1s орбиталлями минимальная энергия достигается при расстоянии между ядрами 1,43 ат. ед. Результирующее сродство к электрону для $H_2(D_e(H_2^-) - D_e(H_2))$ равно 2,0 кДж/моль. Аналогичные расчеты с центрированными на ядрах 2p σ орбиталлями приводят к величине сродства к электрону 6,5 кДж/моль.

Резюме

Ae :

phi, 1988, 18, N 4

H_2

1987

meopem
pacem

108: 11426t A bound $^2\Sigma_g^+$ ground state for hydrogen ion (H_2^-)? A valence-bond study. Harcourt, Richard D. (Dep. Phys. Chem., Univ. Melbourne, Parkville, 3052 Australia). *J. Phys. B: At. Mol. Phys.* 1987, 20(19), L617-L621 (Eng). By constructing wavefunctions of the form $\Psi(H_2^-) = \Psi(H_2, e) + \mu[\Psi(H-H) + \Psi(HH^-)] + \nu[\Psi(H^2-H) + \Psi(HH^{2-})]$ for H_2^- , the ground state is calcd. of H_2 and a free electron. The $\Psi(H_2, e)$ accommodates an electron in a diffuse 1s orbital, which is centered midway between the protons. When the Weinbaum wavefunction with (STO-5G) 1s orbitals is used to describe H_2 , the min. energy of each of these species is calcd. to occur at an internuclear sepn. of 1.43 au. The resulting electron affinity ($D_c(H_2^-) - D_c(H_2)$) for H_2 is 2.0 kJ mol⁻¹. A similar calen. with nuclear-centered 2p σ orbitals also included gives an electron affinity of 6.5 kJ mol⁻¹.

c.A.1988, 108, N2

H_2

1987

1 Д114. Проблема H_2 , решенная методом конечных разностей. H_2 solved by the finite element method. Heinemann D., Kolb D., Fricke B. «Chem. Phys. Lett.», 1987, 137, № 2, 180—182 (англ.)

Представлены предварительные результаты расчета хартри-фоковской энергии основного электронного состояния H_2 методом конечных разностей. Расчеты велись в эллиптических гиперболич. координатах с эквидистантным делением пространства на конечное число элементов. При использовании двумерной сетки 26×11 (20 элементов) хартри-фоковская энергия H_2 была получена с точностью до 10^{-8} ат. ед. При переходе к сетке 41×16 (48 элементов) энергия была рассчитана с точностью до 10^{-10} ат. ед., что на два порядка превосходит точность известных из литературы хартри-фоковских расчетов энергии молекулы водорода.

А. И. Дементьев

сб. 1988, 18, № 1

H_2

1987

10 Д106. Замечание к статье: «Точные аналитические модельные потенциалы для D_2 и H_2 , основанные на модели «возмущенного осциллятора Морзе» — Ответ авторов. Comment on Accurate analytic model potentials for D_2 and H_2 based on the perturbed-Morse-oscillator model by Huffaker J. N., Cohen D. I., Wright James S.; Author's reply. Huffaker J. N. «J. Chem. Phys.», 1987, 86, № 8, 4714—4717 (англ.)
См. «J. Chem. Phys.», 1986, 85, 346.

(4)

сб. 1987, 18, N10

H_2

1987

Genc F., Brandt B.A.

U.N.

Theor. chim. acta,

1987, 72, N 5-6, 411-432.

(see  HF; II)

H₂

[Om. 28285]

1987

Gené F., Brandt B.A.,

ROMMELS.
OP-ME DCH.
COCONUT SHELL

J. Chem. Soc. Faraday
Trans., 1987, Pt 1,
83, N9, 2857-66.

H_2

010. 28243 1987

† 5 Л222. Фурье-спектроскопия комбинационного рассеяния H_2 и D_2 в области линий с высокими J в пламени. FTS-Raman flame spectroscopy of high- J lines in H_2 and D_2 . Jennings D. E., Weber A., Brault J. W. «J. Mol. Spectrosc.», 1987, 126, № 1, 19—28 (англ.)

Методом фурье-спектроскопии КР изучены спектры пламени, образованного при горении H_2 или D_2 в воздухе. Определены положения линий вращательного спектра H_2 и D_2 , обусловленного переходами в области высоких вращательных уровней основного колебательного состояния молекул. В сочетании с данными о положении линий в спектрах КР и ИК-спектрах, полученных при комнатной температуре, определены более точные (по сравнению с литературными) значения молекулярных постоянных H_2 , D_2 для основного колебательного состояния. Положения линий H_2 , рассчитанные с использованием найденных молекулярных постоянных, являются более точными, чем наблюдаемые в спектре молекулярного облака в Орионе.

В. К.

спектр

(H)

φ. 1988, 18, N5

D_2

H_2

07.28243

1987

19 Б1220. Фурье-спектроскопия комбинационного
рассеяния линий H_2 и D_2 с высокими значениями J в
пламенах. FTS-flame spectroscopy of high- J lines
in H_2 and D_2 . Jennings D. E., Weber A., Gra-
ult J. W. «J. Mol. Spectrosc.», 1987, 126, № 1, 19—28
(англ.)

Изучены КР-спектры диффузионных пламен « H_2 —
воздух» (I) и « D_2 —воздух» (II) ($T \sim 670$ K). Спектры
возбуждали линией 514,5 нм Аг-лазера мощностью
 ~ 2 Вт и регистрировали на фурье-спектрометре с
разрешением $\sim 0,24$ см $^{-1}$. В спектре I наблюдали линии
чисто вращат. переходов $v=0—0$ до $S(7)$, а также
 Q -ветвь $v=1—0$. В спектре II проявлялись линии чисто
вращат. спектра $v=0—0$ до $S(7)—S(12)$. Произведено
отнесение линий в спектрах к различным типам
переходов. Уточнены с точностью до 5-го знака значе-
ния вращат. постоянных H_2 и D_2 в основном колебат.
состояния. Произведено сравнение полученных данных
с результатами астрономич. наблюдений. А. В. Бобров

(A) X

X. 1988, 19, N 9

H_2

1987

→ 9 Д276. Наблюдение триплетных ридберговских состояний с $n=2, 3$ молекулы HD методом спектроскопии фотоосколков быстрого нейтрального пучка. The $n=2,3$ triplet Rydberg states of the HD molecule observed by fast neutral-beam photofragment spectroscopy. Keiding S., Bjerre N., Helm Hanspeter. «J. Chem. Phys.», 1987, 86, № 5, 3050—3051 (англ.)

Исследованы переходы между $1s2p$ и $1s3s$, $1s3d$ триплетными ридберговскими состояниями HD. Для изучения чистого триплетного спектра HD использовался метод лазерной спектроскопии фотоосколков в быстром пучке молекул HD; находящихся в метастабильном состоянии $C^3\Pi_u$. Отмечается хорошее согласие экспериментальных спектроскопич. констант с теоретическими, полученными из данных для H_2 Dieke G. H. (The Hydrogen Molecule wavelength tables. Ed. Gasswhite H. M., N. Y., 1972) путем их пересчета для частиц большей массы.

И. В. Филюгин

φ. 1987, 18, № 9

H_2

1987

4 Б4394. Измерения времени жизни молекулы водорода в состоянии $d^3\Pi_u$. Lifetime measurement of $d^3\Pi_u$ state of hydrogen molecule. Kiyoshima Tatsugo. «J. Phys. Soc. Jap.», 1987, 56, № 6, 1989—1995 (англ.)

Методом задержанных совпадений измерены излучательные времена жизни τ_r , индив. вращательно-колебат. уровней $H_2(d^3\Pi_u)$ при их возбуждении электронным ударом и наблюдении затухания Фл на линиях Q и R перехода $H_2(d^3\Pi_u \rightarrow a^3\Sigma_g^+)$, соотв-щего т. наз. системе полос Фульхера. Найдено, что для Π^- -подуровней в системе уровней $v=0, 1, 2, 3$, $K=2$ и для уровня $v=0$, $K=1$ величины $\tau_r \approx 40$ нс независимо от вращательно-колебат. уровня. В то же время τ_r для соотв-щих Π^+ -подуровней сильно зависят от типа колебат. уровня, что объяснено их взаимодействием с ближайшими соседними уровнями $e^3\Sigma_u^+$ -состояния. Невозмущенное значение τ_r для $e^3\Sigma_u^+$ -состояния по оценке составляет 2 ± 1 нс. В. Е. Скуратов

СЛЕДУЮЩИЙ

X. 1988, 19, N 4

H_2

(On 27959)

1987

З Д72. Улучшенные адиабатические поправки для состояния $a^3\Sigma_g^+$ молекулы водорода. Improved adiabatic corrections for the $a^3\Sigma_g^+$ state of the hydrogen molecule. Kołos Włodzimierz, Rychlewski Jacek. «J. Mol. Spectrosc.», 1987, 125, № 1, 159—166 (англ.)

Для низшего связанного триплетного состояния $a^1\Sigma^+$ молекулы водорода рассчитаны адиабатич. поправки к борн-оппенгеймеровской потенц. кривой, найденной вариац. методом с 49-членной ф-цией Джеймса—Кулиджа. С учетом адиабатич. поправок устраняются существовавшие различия между теоретическими и эксперим. значениями энергии диссоциации D_0 для H_2 в этом состоянии. Полученная потенц. ф-ция использована для расчета более точных колебат. энергий изотопомеров H_2 , HD и D_2 . А. И. Дементьев

М.Н.

ф. 1988, 18, № 3

H_2

1987

11 Д364. Колебательная волновая функция радиационно диссоциирующего уровня H_2^* , полученная из распределений кинетических энергий фрагментов H. Vibrational wave function of a radiatively dissociating level of H_2^* obtained from the kinetic-energy distribution of the H fragments. Koot W., Van der Zande W. J., Los J. «Phys. Rev. Lett.», 1987, 58, № 26, 2746—2749 (англ.)

Исследовано возбужденное лазерным излучением состояние $g^3\Sigma_g^-$ ($v=5, N=1$) молекулы H_2 , которое переходит в отталкивательное состояние $b^3\Sigma_u^+$ с испусканием фотона. Исследования проведены путем измерения распределений кинетич. энергий фрагментов H. Обсуждены трудности получения той же информации путем детектирования спектра испускаемых фотонов и показаны ограничения такого метода, тогда как при детектировании фрагментов определяется относительная кинетич. энергия в Ц-системе и есть возможность измерить одновременно все энергетич. распределение и с большой эффективностью. Найдено, что энергетич. распределения имеют волнобразную структуру, которая непосред-

III.1.

оф. 1987, 18, N 11

ственно связана со структурой колебательной воли.
ф-ции возбужденного состояния. Из измеренных спектр-
ров получено распределение по межъядерным расстоя-
ниям, которое включает волн. ф-цию возбужденного
состояния и дипольный момент перехода. Обсуждены
расхождения с рассчитанными распределениями.

Н. В. В.

ате.
гатив

H₂

1987

107: 186120v Improved adiabatic corrections for the $a^3\Sigma_g^+$ state of the hydrogen molecule. Kolos, Włodzimierz; Rychlewski, Jacek (Dep. Chem., Univ. Warsaw, 02-093 Warsaw, Pol.). *J. Mol. Spectrosc.* 1987, 125(1), 159-66 (Eng). Adiabatic corrections were calcd. for a wide range of internuclear distances for the lowest bound triplet state of H. The existing small discrepancy between theor. and exptl. D_0 values can be removed if an addnl. correction to the Born-Oppenheimer energy on the order of 0.4 cm⁻¹ is taken into account.

($a^3\Sigma_g^+$, D_0)

c. A. 1987, 107, n20

H_2

1987

24 Б1127. Симметрия диссоциации молекул водорода: угловая зависимость допплеровского профиля для возбужденных атомов водорода ($n=4$), образующихся в столкновениях $e-H_2$. Symmetry of the dissociation of hydrogen: angular dependence of the Doppler profile of the excited hydrogen atom ($n=4$) produced in $e-H_2$ collisions. Nakashima K., Tomura H., Ogawa T. «Chem. Phys. Lett.», 1987, 138, № 6, 575—578 (англ.)

Исследованы эмиссионные спектры в области β -линии Бальмера от возбужденных атомов H^* ($n=4$), образующихся при диссоциации молекул H_2 под действием электронного удара с энергией 42 эВ. Спектры получены при углах $\theta = 45^\circ$ и 90° между направлением вылета фотона и электронным пучком. Проведен анализ допплеровского уширения линии в ЭС и зависимости этого уширения от θ . Для группы быстрых фрагментов H^* (кинетич. энергия выше 2 эВ) найдены параметр асимметрии диссоциации $b > 0$ и величина поляризации эмиссии $I_p = 0,7 \pm 0,1$. Исходя из $b > 0$ сделан вывод о па-

ж. 1987, 19, № 24

раллельности момента электронного перехода и оси молекулы H_2 . Анизотропный характер диссоциации H_2 с образованием быстрых фрагментов $H^*(n=4)$ отнесен к возбуждению промежуточного отталкивателяного двухкратновозбужденного ридбергового состояния $H_2^1\Sigma_u^+(2p\sigma_u)(nl\sigma_g)$.

О. А. Басченко



H₂

1987

107: 67169h Fluorescent dissociation of selectively excited rotational-vibrational states of hydrogen(B,C) molecules. Noll, T.; Schmoranz, H. (Fachbereich Phys., Univ. Kaiserslautern, D-6750 Kaiserslautern, Fed. Rep. Ger.). *Phys. Scr.* 1987, 36(1), 129-31 (Eng). Structured continuous vacuum-UV emission from selectively excited rotational-vibrational levels of H₂ in the B 2p $^1\Sigma_u^+$ and C 2p $^1\Pi_u$ electronic states was investigated spectroscopically. Spontaneous radiative dissociation of H₂(B, C) mols. occurs via B, C → X bound-free emission. The C → X emission continuum and the effect of centrifugal distortion on the B → X continuum were obsd. for the 1st time.

(C → X)
(B → X)

C.A. 1987, 107, N8

H_2

1987

Н 21 Б1019. Методика расчета энергии связи в рамках неэмпирического метода X_α -дискретного варьирования. Новиков Д. Л. «7 Респ. конф. мол. ученых-химиков. Тез. докл. Ч. 2». Таллин, 1987, 53—54

На основе неэмпирич. метода X_α -дискретного варьирования развита методика и проведены расчеты энергий связи и равновесных межъядерных расстояний для ряда двухатомных молекул, включающих s -, p - и d -элементы: H_2 , O_2 , F_2 , CO , XeF , TiB , TiC , TiN , TiO .

Из резюме

III

(+8)



Х. 1987, 19, № 21

H_2

(OM. 28458)

1987-88

Pardo A., Rojato J.M.L.,
et al.,

$X^+ \Sigma^+$,
 $\mu \cdot n$.

Comunicaciones A la
Academia
Fluorescencia  inducida por

lásers y potenciales electrónicos



H_2

1987

Pardo A., Poyato J.M.d.;
et al.

Rev. R. Acad. Cienc.

Exactas, Fis. Nat. Mad-
rid 1987, 81(2), 389-92.

(Cen. KHM; II)

π^+ ,
 $X^1\Sigma$

H₂

1987

106: 146460d Double-resonance laser-ionization spectroscopy of molecular hydrogen in the region of the second dissociation limit. Parker, David H.; Buck, Jesse D.; Chandler, David W. (Dep. Chem., Univ. California, Santa Cruz, CA 95064 USA). *J. Phys. Chem.* 1987, 91(8), 2035-7 (Eng). Double-resonance multiphoton

($\beta^0 \bar{u}$ guccols
nprca)

ionization was used to probe unstudied Franck-Condon regions in transitions between excited electronic states in H₂. The 1st resonance was selected for a long av. internuclear distance, and absorptions of a 2nd delayed laser pulse at energies near the 2nd dissociation limit were detected as peaks in the delayed ionization spectra. New spectroscopic and photodynamic information on the highest excited bound vibrational levels of the B, B', and C electronic states was obtained.

C. A. 1987, 106,118

1987

H₂

19 Б1216. Лазерно-ионизационная спектроскопия двойного резонанса молекулярного водорода в области второго диссоционного предела. Double-resonance laser-ionization spectroscopy of molecular hydrogen in the region of the second dissociation limit. Parker David H., Buck Jesse D., Chandler David W. «J. Phys. Chem.», 1987, 91, № 8, 2035—2037 (англ.)

M.P.

Методом двойной резонансной многофотонной ионизации изучены переходы между возбужденными электронными состояниями молекулы H_2 . В результате двухфотонного поглощения заселялись отдельные вращат. уровни состояния $E, F^1\Sigma_g^+$ ($v=5,6$) H_2 (состояние E, F характеризуется наличием двух минимумов на потенциальной кривой, уровни $v=5,6$ лежат вблизи потенциального барьера). Далее молекулы $H_2(E, F)$ с небольшой временной задержкой (40 нс) ионизировались (через промежут. состояния B, B', C, H_2) излучением импульсного перестраиваемого лазера. Регистрировались образующиеся ионы H^+ и H_2^+ (время-пролетный масс-спектрометр). Уточнено отнесение ряда уровней и получены данные о фотодинамике высоколежащих колебат. уровней состояний B, B' и C .

В. М. Ковба

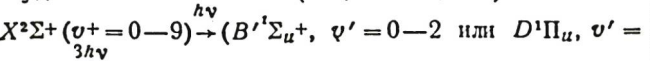
X.1987, 19, N 19

H_2

1987

) 18 Б1138. Фотоэлектронное исследование резонансно усиленной многофотонной ионизации H_2 через состояния $B'^1\Sigma_u^+$ и $D^1\Pi_u$. Photoelectron studies of resonantly enhanced multiphoton ionization of H_2 via the $B'^1\Sigma_u^+$ and $D^1\Pi_u$ states. Pratt S. T., Dehmer P. M., Dehmer J. L. «J. chem. phys.», 1987, 86, № 4, 1727—1732 (англ.)

Методом резонансно усиленной многофотонной (3+1) ионизации (МФИ) исследованы фотоэлектронные спектры молекул H_2 . Возбуждение осуществлялось излучением импульсного перестраиваемого лазера на красителе с удвоением частоты (265,5—272,5 нм) по схеме



$= 0, 1) \leftarrow X^1\Sigma^+ (v'' = 0)$. Регистрировались образующиеся ионы H_2^+ (время-пролетный масс-спектрометр) и фотоэлектроны. Распределение интенсивности пиков в спектрах МФИ хорошо согласуется с рассчитанными значениями факторов Франка — Кондона для указанных переходов.

В. М. Ковба

X. / 987, 19 N 18

1987

H₂

6 Л314. Наблюдение расщепления Отлера—Таунса при многофотонной ионизации молекулы H₂: измерение колебательных моментов перехода между возбужденными колебательными состояниями. Observation of Autler-Townes splitting in the multiphoton ionization of H₂: Measurement of vibronic transition moments between excited electronic states. Quesada Mark A., Lau Albert M. F., Parker David H., Chandler David W. «Phys. Rev. A: Gen. Phys.», 1987. 36, № 8, 4107—4110 (англ.)

H·H·

Сообщается о первом наблюдении расщепления Отлера—Таунса (динамическое штарковское расщепление) в молекуле H₂ методом двухцветной многофотонной ионизации. Двухцветная четырехфотонная ионизация молекул H₂ осуществлялась через резонансные уровни E, F'Σ_g⁺ v=6, J=1 (1) и O 'Π_u v=2, J=2 (2). На основании полученных эксперим. данных определены колебательный момент перехода между состояниями (1) и (2) ($2,0 \pm 0,5$ ат. ед.). Эксперим. значение хорошо согласуется с результатами ab-initio расчетов других авторов (1,97 ат. ед.). Библ. 26.

B. A. E.

φ 1988, 18, N6.

H_2

07.28104

1987

4 Д119. Применение теории квантового дефекта к состояниям H_2 с двумя минимумами. Quantum-defect theory of double-minimum states in H_2 . Ross S., Jungen Ch. «Phys. Rev. Lett.», 1987, 59, № 12, 1297—1300 (англ.)

Многоканальный метод квантового дефекта использован для расчета вибронных уровней молекулы H_2 , возникающих при взаимодействии низколежащих состояний симметрии $^1\Sigma^+$, характеризующихся потенциальными кривыми с двумя минимумами. В качестве базиса взяты неэмпирические волни. ф-ции H_2 , полученные в вариац. расчетах Колоса и Дрессслера. Недиагональные матричные элементы гамильтониана учитывают каналы, соответствующие однократным и двукратным возбуждениям. В результате расчета получен полный набор вибронных ридберговских состояний типа $H_2^+1\sigma_u$ и $H_2^+1\sigma_g$, в котором первые 40 уровней воспроизводят эксперим. спектр.

А. И. Дементьев

φ. 1988, 18, N4

1987

H₂

107; 143837s Refined diatomic partition functions I. Calculational methods and molecular hydrogen and carbon monoxide results. Winn, Alan W. (Dep. Phys., Univ. Victoria, Victoria, BC Can. V8W 2Y2). *Astron. Astrophys.* 1987, 182(2), 348-58 (Eng). The recently discovered systematic errors in traditional calcns. of the H₂ and CO partition functions were traced to mol. consts. that inadequately represent the H₂ energy levels and to the use of the J. B. Tatum (1956) approxn. for diat. partition functions. First order centrifugal distortion is the principal cause of the T. approxn. errors. A survey of astrophys. important mols. indicates the errors from this source usually are 3-7% for most hydrides and 1-3% for most nonhydrides at 4000 K. A new partition function approxn. was derived that corrects the T. approxn. for a no. of effects including 1st-order centrifugal distortion. This new approxn. reduces the H₂ partition function errors from 6 to 2% and the CO partition function errors from 1 to 0.004% at 4000 K. The most accurate partition functions of H₂ and CO are calcd. using direct energy summation methods. At 100-9000 K the max. systematic errors of these calcns. were estd. as 0.1% in the partition function, 0.1% in the related contribution to the internal energy, and 1% in the related contribution to the sp. heat at const. vol. These stds. of accuracy are maintained in polynomial fits to the H₂ and CO partition functions.

(4) X

C.A.1987, 107; N16 CD

H_2

1987

19 Б1154. Излучательная диссоциация H_2 и излучательная рекомбинация Kr_2 , наблюдавшиеся методом спектроскопии вакуумного ультрафиолета. Radiative dissociation of H_2 and radiative recombination of Kr_2 observed by VUV spectroscopy / Schmoranzer H. // Spectral Line Shapes. Vol. 4. Proc. 8th Int. Conf., Williamsburg, Va, 9—13 June, 1986.— Hampton (Va), 1987.— С. 315—337.— Англ.

Наблюдалась спонтанная излучат. диссоциация молекул H_2 через континуумы, связанные с переходами $(2p\sigma)B^1\Sigma_u^+ - X^1\Sigma_g^+$ и $(2p\pi)C^1\Pi_u - X^1\Sigma_g^+$ при вращательно селективном возбуждении отдельных колебат. уровней состояний $B^1\Sigma_u^+$ и $C^1\Pi_u$ излучением синхротронного источника в обл. вакуумного УФ (ВУФ). Выполнены модельные квантовые расчеты спектров непрерывной флуоресценции в ВУФ диапазоне связанных с переходами с дискретных уровней состояний B и C в обл. континуума лежащего выше диссоц. предела со-

X.1989, N19

стояния $X^1\Sigma_g^+$. Результаты расчетов в основном согласуются с эксперим. спектрами. В обл. голубого крыла резонансной атомной линии ${}^3P_1 - {}^1S_0$ Kr (123,584 нм) измерены ВУФ спектры флуоресценции эксимеров Kr₂ при возбуждении криптона электронным ударом с энергией 20 кэВ. Спектры интерпретированы как излучат. рекомбинация, обусловленная переходами из несвязанной обл. состояния $1_u ({}^3P_1)$ в обл. связанных состояний X O_g⁺ (1S_0). Выполнены численные расчеты факторов Франка—Кондона для таких переходов. В. М. Ковба

H_2

1987

Semenov S. G.

Vestn. Leningr. Univ.,

ab initio Ser. 4: Fiz., Khim,
pacrin 1987, (4), 102-4.

(cst. H_2^+ , III)

H_2

1987

108: 65050j Spectroscopic identification of rovibronic levels lying above the potential barrier of the $EF^1\Sigma_g^+$ double-minimum state of the hydrogen molecule. Senn, P.; Dressler, K. (Phys. Chem. Lab., ETH-Zent., CH-8092 Zurich, Switz.). *J. Chem. Phys.* 1987, 87(12), 6908-14 (Eng). Spectroscopic data on the higher vibrational levels of the $EF^1\Sigma_g^+$ state of the H_2 mol. are scarce. New identifications are reported of energy levels with $J = 0-5$ which fall into the range between $\nu_{EF} = 9$ and 20, i.e., the energy region above the potential barrier of the double-min. EF potential curve. Some previously published line assignments and term values are cor. The results are mostly based on new assignments of $EF^1\Sigma_g^+ + B^1\Sigma_u^+$ bands in Dieke's hydrogen mol. wavelength tables published in 1972. The newly identified states are of interest in multiphoton spectroscopy and in comparisons of exptl. properties with results of ab initio calcns.

$(EF^1\Sigma_g^+)$

ФЕОКУ
КОНДАМ
УНОВИЧ

C.A. 1988, 108, N8

1987

М₂

9 17 Б1232. Спектроскопическая идентификация колебательно-вращательных уровней лежащих выше потенциального барьера состояния $EF^1\Sigma_g^+$ с двумя минимумами молекулы H_2 . Spectroscopic identification of rovibronic levels lying above the potential barrier of the $EF^1\Sigma_g^+$ double-minimum state of the H_2 molecule. Sepp P., Dressler K. «J. Chem. Phys.», 1987, 87, № 12, 6908—6914 (англ.)

М.Н.

С учетом результатов точных неэмпирич. расчетов дано новое отнесение ряда полос в системах $EF'\Sigma^+ \leftarrow B^1\Sigma_u^+$, $EF^1\Sigma_g^+ \leftarrow C^1\Pi_u$ и $GK^1\Sigma_g^+ \leftarrow B^1\Sigma_u^+$ молекулы H_2 и выполнена идентификация уровней колебательно-вращат. энергии состояния $EF^1\Sigma_g^+H_2$ ($v_{EF}=14-20$, $J=0-6$) лежащих выше потенциального барьера (состояние $EF^1\Sigma_g^+$ характеризуется наличием двух минимумов на потенциальной кривой). Приведена сводная таблица электронно-колебательно-вращат. термов для состояния $EF^1\Sigma_g^+$ ($v=0-20$, $J=0-5$) и состояния $GK^1\Sigma_g^+$ ($v=0,1$, $J=0-5$). В. М. Ковба

X. 1988, 19, N 17

H_2

1987

8 Л244. Спектроскопическая идентификация колебательно-вращательных уровней лежащих выше потенциального барьера состояния $H_2(EF^1\Sigma_g^+)$ с двумя минимумами. Spectroscopic identification of rovibronic levels lying above the potential barrier of the $E F^1\Sigma_g^+$ double-minimum state of the H_2 molecule. Seppl P., Dressler K. «J. Chem. Phys.», 1987, 87, № 12, 6908—6914 (англ.)

Предложена новая идентификация уровней с $J=0 \div 5$ состояния $H_2(EF^1\Sigma_g^+)$ с двумя минимумами, которые приходятся на области $v_{EF}=9-20$, т. е. лежат выше потенц. барьера между минимумами. Результаты базируются на новом отнесении ряда полос системы $E F^1\Sigma_g^+ - B^1\Sigma_u^+$ в таблицах линий молекулярного водорода, опубликованных в 1972 г. Библ. 34.

В. С. Иванов



φ. 1988, 18, N 8

H₂

om. 27543

1987

2 Б1079. Туннелирование в двухминимумном состоянии $EF^1\Sigma_g^+$ молекулярного водорода. Tunneling in the double-minimum $EF^1\Sigma_g^+$ state of molecular hydrogen. Senn P., Dressler K. «J. Chem. Phys.», 1987, 87, № 2, 1205—1211 (англ.)

Рассмотрена задача о расчете колебательно-вращательных уровней энергии для молекул H₂, D₂, HD, HT, DT и T₂ в электронном состоянии $EF^1\Sigma_g^+$, характеризующемся потенциальной кривой с двумя минимумами. Расчеты основаны на полуклассич. приближения Бора—Зоммерфельда для оценки проницаемости барьера, ф-ле для энергии взаимодействия двух резонирующих состояний, связанных туннельным переходом, и неэмпирич. потенциальной кривой. Для положений уровней вдали от максимума барьера (приближение высокого барьера) использована более простая ф-ла. Результаты сопоставлены с эксперим. данными и результатами более точных квантовых расчетов.

А. В. Немухин

(75)

X. 1988, 19, № 2

H_2

1987

10 Д68. Неадиабатические собственные значения и
адиабатические матричные элементы для всех изотопов
двуатомного водорода. Nonadiabatic eigenvalues and
adiabatic matrix elements for all isotopes of diatomic
hydrogen. Schwartz Cагеу, Le Roy Robert J.
«J. Mol. Spectrosc.», 1987, 121, № 2, 420—439 (англ.)

Для всех связанных и квазисвязанных колебательно-
вращательных уровней основного электронного состоя-
ния шести изотопических двухатомных молекул водо-
рода вычислены величины энергии, поляризуемости, ани-
зотропия поляризуемости и недиагональные матричные
элементы переходов с $\Delta j = 0, \pm 2; \Delta v = 0, -1, -2$, не-
обходимых для предсказания интенсивностей в спек-
трах комб. рас. При расчетах использовались новейшие
данные о внутримолекулярном потенциале. Разработана
также процедура масштабирования, позволяющая из-
вестные результаты для изотопов H_2 , HD и D_2 про-
экстраполировать, чтобы получить данные для изотопич.
молекул трития HT , DT , T_2 . Б. Ф. Гордиец

III.1.

✓ 35

phi 1987, 18, N 10

H_2

1987

19 Б1212. Положение линий в спектрах комбинационного рассеяния молекулярного водорода. H_2 , HD , HT , D_2 , DT и T_2 . Raman line positions in molecular hydrogen: H_2 , HD , HT , D_2 , DT , and T_2 . Veirs D. Kirk, Rosenblatt Gerd M. «J. Mol. Spectrosc.», 1987, 121, № 2, 401—419 (англ.)

С высокой точностью ($\sim 0,03 \text{ см}^{-1}$) измерены спектры спонтанного комбинац. рассеяния молекул H_2 , D_2 , T_2 и смешанных изотопомеров. Спектры возбуждались мощным Ag^+ -лазером. Приведено положение ($\Delta\nu$) наблюдаемых линий Q -, Q - и S -ветвей указанных молекул. Результаты сопоставлены с выполненными ранее измерениями и данными неэмпирич. расчетов. Во всех случаях отмечено возрастающее с J расхождение эксперим. положения полос с рассчитанными на основе известных молек. постоянных.

В. М. Ковба

(45)

(47)

X.1987, 19, N 19

$\text{He}(\text{D}_2)$

1987

24 Б1233. Спектроскопические исследования процессов передачи энергии в микроволновом разряде через гелий и смеси инертный газ-водород. Spektroskopische Untersuchungen von Energieübertragungsprozessen in Mikrowellenentladungen von Helium und Edelgas — Wasserstoff — Gemischen. Wittig Bodo. Diss. Dokt. Naturwiss. Abt. Chem. Ruhr — Univ. Bochum, 1987. 121 S., ill. (нем.)

Диссертация посвящена исследованиям спектров испускания гелия и водорода возбуждаемых в микроволновом разряде через гелий и смеси водород-инертный газ (Ar , Ne). В первой части работы описаны эксперимент и нек-рые методич. вопросы. В остальных разделах изложены результаты наблюдений и обсуждены: протекающие в разряде процессы образования молекул He_2 в возбужденных синглетных и триплет-

М-1.

Х. 1988, № 24

ных электронных состояниях; относит заселённость колебат. уровней состояния $B^1\Sigma_u^+ + H_2(D_2)$ при столкновениях молекул водорода с возбужденными атомами инертных газов; распределение интенсивности полос в системе Лаймана (переход $B^1\Sigma_u^+ \rightarrow X^1\Sigma_g^+$) H_2 ; влияние на спектры давл. газа и т-ры. Дан перечень наблюдаемых переходов.

В. М. Ковба

H₂

[Om. 26495]

1987

Wright G.S., Barclay V.J.,

Copy kept,
not publ'd
J. Chem. Phys., 1987,
86, N 5, 3054-55.

H₂

1987

Wright James S.

M.N.

J. Chem. Phys., 1987,

86, N8, 4714 - 4717.

Cer. J. Chem. Phys., 1986, 85,

346. (Cer. D₂; ii)

H_2

1987

108: 138108w. Effect of vibronic coupling on the long-range intermolecular interaction. Yamabe, Tokio; Asai, Yoshihiro (Fac. Eng., Kyoto Univ., Kyoto, Japan 606). *Int. J. Quantum Chem., Quantum Chem. Symp.* 1987, 21, 569-72 (Eng). The nonadiabatic energy correction term of the H_2 at large sepn. is discussed to determine whether or not the nuclear motion induces the interat. interaction potential. Nonadiabatic vibrational motion of nuclei induces the internal charge polarization of atoms to give the novel correction term to the London R^{-6} force. The correction term is $(4/M)(1/R^3)$, which is important at large R despite the magnitude of nuclear mass.

NONADIA
BULL 8086 -
LEVEL 2.

C.A. 1988, 108, N16

H₂

1988

13 Б1023. Одноэлектронные плотности H₂, N₂ и LiH в координатном, импульсном и фазовом пространствах. Position, momentum, and phase-space one-electron densities of H₂, N₂, and LiH / Anchell J. L., Harriman J. E. // J. Chem. Phys.— 1988.— 89, № 11.— С. 6860—6869.— Англ.

Плотности рассчитаны при различных межъядерных расстояниях на основе волновых ф-ций, полученных методом конфигурац. взаимодействия с учетом одно- и двукратных (для H₂ и N₂) и от одно- до четырехкратных (для LiH) возбуждений. Использованы базисы сгруппированных гауссовых ф-ций 6-311 ГФ для N₂ и LiH и 6-311 ГФ** для H₂. Проанализированы как полные, так и разностные (по отношению к атомам) плотности. В координантном пространстве отмечено (хотя и не всегда) смещение плотности в обл. между ядрами, а в импульсном пространстве — выполнение принципа направленности связи (преимущественной ориентации им-

(72)

X. 1989, № 13

LiH, N₂

пульса в перпендикулярном оси молекулы направлении). Для LiH принцип направленности связи не выполняется, из-за высокой полярности молекулы. Плотности в фазовом пространстве позволяют получить дополнит. информацию о перераспределении электронов при образовании хим. связи. Анизотропия, фазовой плотности по импульсу мала для H_2 и iLiH и велика для N_2 .

А. А. Сафонов



H₂

Om. 31193

1988

CREKMP KP
6
MAMPUUSE

110: 47611e Raman spectroscopy of matrix-isolated hydrogen.
I. Influence of matrixes on defects. Bier, K. D.; Jodl, H. J.;
Daeufer, H. (Fachber. Phys., Univ. Kaiserslautern, 6750 Kaiserslautern,
Fed. Rep. Ger.). *Can. J. Phys.* 1988, 66(8), 708-15 (Eng).
H₂ was treated as a model substance for matrix-isolation effects.
Raman investigations were made concerning the influence of matrix
material on the various modes of H₂. For the doublet in the
vibrational range of H₂ in rare-gas solids, an assignment to Q₁(0) and
Q₂(1) was made and substantiated. In addn. to matrix-shift
consideration, temp. influences, ortho-para investigations, and
aggregation effects, different sites were observable in the nonspherical
matrixes, N₂ and O₂, with a restriction of free rotation in N₂.

C.A. 1989, 110, N6

H_2

1988

CHEM CP
& MANPULSE

110: 47612f Raman spectroscopy of matrix-isolated hydrogen.
II. Influence of defects on matrixes. Bier, K. D.; Jodl, H. J.;
Daeuer, H. (Fachber. Phys., Univ. Kaiserslautern, 6750 Kaiserslautern,
Fed. Rep. Ger.). *Can. J. Phys.* 1988, 66(8), 716-20 (Eng).
 H_2 is treated as a model substance for matrix-isolation effects.
Raman investigations were made concerning the influence of the
defect on the matrix material Ar, Kr, Xe, N_2 , and O_2 . The influence
of the matrix on the H_2 impurities was investigated previously. A
comparison cf the spectra of pure mol. crystals with the spectra of
doped crystals (1% H_2 or 1% D_2) shows distinct changes in the
Raman spectra of the matrixes. Weak influences of the impurity on
site symmetry and on the vibron-phonon and phonon-phonon
coupling mechanisms of the anisotropic matrixes N_2 and O_2 were
obtained. An addnl. line, obsd. in the vibron-phonon structure of N_2
and O_2 , was interpreted as a coupled resonant mode. Direct evidence
of a resonant mode at 39 cm^{-1} is only obtained in the system contg.
1% D_2 in N_2 .



C.A. 1989, 110, N6

1988

H₂ 13 Б1022. Гиперполяризуемость двухатомных молекул: влияние колебаний и вращения. Hyperpolarizabilities of diatomic molecules² the effects of vibration and rotation. Bishop D. M., Lam B. «Chem. Phys. Lett.», 1988, 143, № 6, 515—520 (англ.)

M.N. Для двухатомных неполярных молекул получены выражения дипольной поляризуемости α , второй гиперполяризуемости γ , квадруполь-квадрупольной поляризуемости C и диполь-диполь-квадрупольной поляризуемости B , явно учитывающие колебания и вращение молекулы. Полученные ф-лы использованы для расчета указанных св-в H_2^+ и H_2 . Полученные результаты сопоставлены с данными, основанными на классич. усреднении по ориентациям молекулы тензоров поляризностей, заданных в молек. системе координат. Показано, что электронные составляющие поляризостей близки между собой в случае точной и приближенной ф-л, однако для возбужденных колебат. состояний вращат. и колебат. составляющие заметно различаются.

А. А. Сафонов

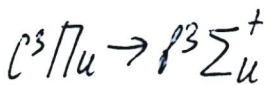
X. 1988, 19, N 13

H₂

DM. 29634

1988

109: 82206c The R-dependent forbidden transition moments for c $^3\Pi_u$ \rightarrow b $^3\Sigma_u^+$ of molecular hydrogen. Chiu, Luc Yung Chow; Lafleur, Edward E. (Dep. Chem., Howard Univ., Washington, DC 2059 USA). *Chem. Phys. Lett.* 1988, 147(2-3), 253-7 (Eng). The elec.-quadrupole and the magnetic-dipole transition moments between the $v = 0$ state of metastable c $^3\Pi_u$ and the dissociative b $^3\Sigma_u^+$ states of H₂ were computed as a function of R. The accurately calcd. transition probabilities for c $^3\Pi_u \rightarrow$ b $^3\Sigma_u^+$ were compared with that from the Franck-Condon approxn. The simple c $^3\Pi_u$ state electronic wavefunction, generated for a wide range of R, yielded potential energy, which agrees with potential energy calcd. from a 75-term elliptical function.



$$(1R_{mn})^2$$



C. A. 1988, 109, n10.

H_2

Дн. 29.2.1988, а" 1388

17 Б1233. Инфракрасная лазерная спектроскопия системы $a^3\Sigma_g^+ - c^3\Pi_u$ H₂ и D₂. Infrared laser spectroscopy of the $a^3\Sigma_g^+ - c^3\Pi_u$ system of H₂ and D₂. Davies P. B., Guest M. A., Johnson S. A. «J. Chem. Phys.» 1988, 88, № 5, 2884—2890 (англ.)

В диапазонах 2100—2210, 700—740 и 550—630 см⁻¹, используя различные диодные лазерные источники, с разрешением, ограниченным допплеровским уширением, измерены ИК-спектры молекул H₂ и D₂, связанные с переходами в системе $(1s\sigma 2s\sigma)a^3\Sigma_g^+ - (1s\sigma_g 2p\pi_u)c^3\Pi_u$ ($\Delta v = 0, \pm 1$) (часть наблюдаемых переходов неидентифицирована). Молекулы H₂(D₂) в возбужденных электронных состояниях получали при электронной

(III-11)

O_2

D₂



Х. 1988, 19, N 17

бомбардировке молекул в условиях разряда переменного тока через водород (давл. 0,07—1,3 мм). Разрешена тонкая и СТ структура отдельных линий, предварительный анализ которых показал, что в состоянии $a^3\Sigma_g^+$ СТ эффекты проявляются в значительно большей мере, чем тонкая структура, а преобладающим в СТС состояния $c^3\Pi_u$ является контактное взаимодействие Ферми между остовом и ридберговским $1s\sigma_g$ электроном. В рамках разработанной ранее теории («Can. J. Phys.», 1975, 53, 2353) выполнено моделирование интенсивностей переходов СТС, $b_{\beta J}(c) — b_{\beta S}(a)$. В. М. Ковба

H_2

от. 29240 а" 1988

9 л 1988. ИК-лазерная спектроскопия системы $a^3\Sigma_g^+ - c^3\Pi_u$ H₂ и D₂. Infrared laser spectroscopy of the $a^3\Sigma_g^+ - c^3\Pi_u$ system of H₂ and D₂. Davies Paul B., Guest Michael A., Johnson Simon A. «J. Chem. Phys.», 1988, 88, № 5, 2884—2890 (англ.)

С использованием возбуждения диодным лазером получены ИК-спектры в допплеровском пределе молекул H₂ и D₂ в электрич. разряде на перем. токе в области переходов с $\Delta v = 0, \pm 1$ системы полос $a^3\Sigma_g^+ - c^3\Pi_u$. В спектрах наблюдаются сигналы поглощения атомарного водорода, которые использованы для доказательства стимулированной природы части эмиссионных переходов молекул. Исследована тонкая и сверхтонкая структура спектров и проведен их предварительный анализ. Показано, что сверхтонкая структура в состоянии a описывается в модели связи $b_{\beta s}$. Библ. 56.

Е. П. Смирнов

(7)

⊗



сф. 1988, 18, № 9

H₂

OM 29240, a" 1988

108: 176176z Infrared laser spectroscopy of the a $^3\Sigma_g^+$ -c $^3\Pi_u$ system of molecular hydrogen and molecular deuterium. Davies, Paul B.; Guest, Michael A.; Johnson, Simon A. (Dep. Phys. Chem., Univ. Cambridge, Cambridge, UK CB2 1EP). *J. Chem. Phys.* 1988, 88(5), 2884-90 (Eng). Doppler limited IR laser spectra of H₂ and D₂ were recorded in an a.c. discharge with diode laser sources and assigned to $\Delta v = 0$ and ± 1 sequence bands of the a-c system. Intense absorption signals from at. H were detected and used to confirm that some mol. spectra occurred in stimulated emission; as was found for a known D₂ laser transition. Several of the diode spectra recorded at shorter wavelengths ($\Delta v = 1$ sequences) cover regions previously obsd. by Fourier transform emission expts. on the a-c system. Both fine and hyperfine structure were revealed, and while the a $^3\Sigma_g^+$ state has negligible fine structure (at this resoln.), hyperfine effects are apparent and are modeled using a b₃ coupling case.

a $^3\Sigma_g^+$ - c $^3\Pi_u$,
UK CNEKMP

O₂XJ D₂

C.A. 1988, 108, N20

H₂

[Om. 31517]

1988

конгломерат.
субгазмит.
актинолитов
Panam.
crempock.
CSARS

Debarre D.,
Lefebvre M., et al.;
Opt. Commu. 1988,
69, 10 5-6, 362-66

H₂

1988

110: 30566w Optimization of semiempirical determination of rovibronic radiative and collisional transition probabilities. $d^1\Pi_g^- \rightarrow a^3\Sigma_u^+$ and $d^3\Pi_u^- \leftarrow X^1\sigma_g^+$ transitions in hydrogen, hydrogen monooctetide and deuterium. Drachev, A. I.; Lavrov, B. P.; Prosikhin, V. P. (USSR). *Vestn. Leningr. Univ., Ser. 4: Fiz., Khim.* 1988, (3), 16-25. (Russ). A semiempirical approach to the detn. of non-Franck-Condon rovibronic transition probabilities in diatomics is developed by introducing an optimizational procedure for obtaining in the adiabatic approxn. the internuclear distance dependencies of the electronic transition moment (for radiative) and partial amplitudes of electron scattering on a mol. with fixed nuclei (for collisional transitions). The advantages of the proposed method are illustrated on the example of 2 transitions in a H₂ mol.

$f_{nn}, d^3\Pi - a^3\Sigma^+$

$d^3\Pi - X^1\Sigma^+$

(+2) HD, D₂

C.A. 1989, 110, N 4

H₂

1988

109: 239374f Precise multiphoton spectroscopy of hydrogen molecule. Eyler, E. E.; Gilligan, J. M.; McCormack, E. (Dep. Phys., Yale Univ., New Haven, CT 06511 USA). AIP Conf. Proc. 1987. (Pub. 1988). 172(Adv. Laser Sci.-3), 331-3 (Eng). A review with 5 refs. on recent progress in the detn. of abs. energy levels in H₂ using 2- and 3-photon excitation. Several vibrational bands of the E, F \leftarrow X transition were measured using 2-photon excitation at ~ 220 nm, to an accuracy of 0.01 cm^{-1} , an improvement by nearly an order of magnitude. Three-photon transitions to the B(2p σ) and C(2p π) states were measured to 0.06 cm^{-1} . The 3-photon measurements are somewhat less precise because they are affected by shifts arising from the a.c. Stark effect and from interference between 3-photon excitation and 3rd harmonic generation. Transitions were measured from the E, F state to the dissocn. limit yielding H(1s) + H(2s or 2p), providing a preliminary new value of $36118.1 \pm 0.2\text{ cm}^{-1}$ for the dissocn. energy of H₂.

No

C.A. 1988, 109, N26

λ^k anorekt
MOREKYL

H₂ (Om. 30.9.88) 1988

III: 84420h A new method for determining ionization potentials of diatomic molecules. Glushkov, A. V. (USSR). *Zh. Prikl. Spektrosk.* 1988, 49(5), 840-2 (Russ). A method for calcn. of ionization potentials of diat. mols., based on the std. shell model is proposed. The method does not require a soln. of the corresponding eigenvalue problem. A scaling condition for the nuclear charges is employed. The method is tested on H₂, Li₂, C₂, N₂, O₂, and F₂.

(9, menog)

⑦



C.A. 1989, III, N10

H_2

(Om-30928)

1988

- 7 Б1022. Новый метод определения потенциалов ионизации двухатомных молекул / Глушков А. В. // Ж. прикл. спектроскопии.— 1988.— 49, № 5.— С. 840—842.— Рус.; рез. англ.

Предложен эффективный подход к определению Пт ионизации двухатомных молекул, базирующийся на оболочечной модели двухатомных молекул с использованием условия скэйлинга по заряду ядер и не требующий численного решения соотв. задачи на собственные значения. Метод апробирован на гомоядерных двухатомных молекулах M_2 ($M=H, Li, C, N, O, F$) и м. б. полезен в различных приложениях. Резюме

75



Li_2



C_2, N_2, O_2, F_2

X.1989, № 7

1988

- 9 Б1235. Динамические ограничения на схемы резонансной ионизации малых молекул. Dynamical constraints on resonant ionization schemes for small molecules / Hessler J. P., Glab W. L., Ettinger D. G. // Reson. Ioniz. Spectrosc., 1988: Proc. 4th Int. Symp. Reson. Ioniz. Spectrosc. and its Appl. Gaithersburg, Md, 10—15 Apr., 1988.— Bristol; Philadelphia, 1988.— С. 117—120.— Англ. Место хранения ГПНТБ СССР

Обсуждены эффективная и селективная схема резонансной (2+1)-ионизации для детектирования молек. водорода, по к-рой сперва осуществлялся двухфотонный переход между низшими колебат. уровнями $X^1\Sigma_g^+(1s\sigma)$ и $E^1\Sigma_g^+(2s\sigma)$ состояний и послед. однофотонным $R(0)$ переходом в состояние $8p\sigma$ ($v=1$) выше Пт ионизации. Измерены спектроскопич. и динамич. св-ва промежут. $E^1\Sigma_g^+$ состояния. Спонтанные и индуцированные электрич. полем каналы диссоциатив-

Х. 1990, № 9

ног распада высоких синглетных *pr* ридберговых состояний имеют жесткие ограничения на использование электрич. поля для усиления селективности ионизац. схемы. Для использованной схемы оценен предел чувствительности конц-ии молекул в 10^6 см^{-3} . Прецизионные измерения Q-ветви двухфотонного перехода позволили получить значения нек-рых молек. постоянных для $v=0 E^1\Sigma_g^+$: $T_{00}=99164,810 \text{ см}^{-1}$, $B_0=31,7454 \text{ см}^{-1}$ и $D_0=0,021 \text{ см}^{-1}$.

Н. В. Кулакова



H₂

(Om. 31143)

1988

Kaskar C.II.,

(EF_{2g}⁵⁺) Kun. May. 1988, ♀, N12,
1598-1608.

pacem

nomens.

phi-III

1988

10 Д127. Атомные и молекулярные приложения метода кластерного разложения для открытых оболочек с неполными модельными пространствами. Atomic and molecular applications of open-shell cluster expansion techniques with incomplete model spaces. Koch S., Mukherjee D. «Chem. Phys. Lett.», 1988, 145, № 4, 321—328 (англ.)

С использованием разработанного ранее формализма метода кластерного разложения для открытых оболочек с неполными модельными пространствами (Mukherjee D. «Int. J. Quant. Chem. Symp.», 1986, 20, 409) выполнены расчеты низших электронных состояний трех двухэлектронных систем: атома Не, молекулы H_2 и иона He_2^{2+} . Для He_2^{2+} получены адиабатические потенциальные кривые четырех низших состояний ${}^1\Sigma_g^+$ и двух низших состояний ${}^3\Sigma_g^+$. Найдено, что первое возбужденное состояние ${}^1\Sigma_g^+$ является связанным и характеризуется равновесными параметрами $R_e \approx 3,6 \text{ } a_0$ и $D_d \approx 0,33 \text{ эВ}$. Библ. 33.

А. И. К.

(XII)

Ф. 1988, 18, N 10.

H₂

1988

109: 179167d Regular perturbations in relative probabilities of emission of the R and P branches of the $d^3\Pi_u^+ \rightarrow a^3\Sigma_g^+$ and $e^3\Sigma_u^+ \rightarrow a^3\Sigma_g^+$ transitions of a hydrogen molecule. Lavrov, B. P.; Tyutchev, M. V.; Ustimov, V. I. (USSR). *Opt. Spektrosk.* 1988, 64(6), 1251-5 (Russ). The relative probabilities were measured of the spontaneous emission in the R- and P-branches for the H₂ mol. Upon the anal. of the data, the electronic-rotational interactions of the states $d^3\Pi_u^+$ and $e^3\Sigma_u^+$ were calcd. in the 2nd order of the perturbation theory, while both the electron matrix element L_{de} , describing this interaction, and also the electron moments $d \rightarrow a$ and $e \rightarrow a$ of the radiative transitions were calcd. independently of the internuclear distance. The required matrix elements of the integral stages of the internuclear distance in the vibrational wave functions were numerically calcd. Despite the simplicity of the model used, good agreement was obsd. between theory and expt.

WENKELBACH
(Pub & member)

C. A. 1988, 109, N 20

H₂(K)

1988

110: 15323w. Infrared studies on solid hydrogen, deuterium and hydrogen deuteride using Fourier-transform spectroscopy. Lee, Sang Young. (Ohio State Univ., Columbus, OH USA). 1987. 227 pp. (Eng). Avail. Univ. Microfilms Int., Order No. DA8804065. From *Diss. Abstr. Int. B* 1988, 49(2), 454.

KK CNEKMP

D₂, HD

(D₂) X



C.A. 1989, 110, N 2

H_2

от 29633

1988

11 Д73. Теоретическое изучение вращательной предиссоциации состояния $c^3\Pi_u$ молекулы H_2 . Theoretical study of the rotational predissociation of the $c^3\Pi_u$ state of H_2 . Martín F., Borondo F. «Chem. Phys. Lett.», 1988, 147, № 2—3, 246—252 (англ.)

Исследуется предиссоциация колебательных уровней состояния $^3\Pi_u$ молекулы H_2 . Рассчитаны волн. ф-ции состояний $c^3\Pi_u$ и $b^3\Sigma_u^+$. Использован метод КВ в базе гауссовых ф-ций ($6s5p$). Найдены матричные элементы вращательного взаимодействия состояния $c^3\Pi_u$ с состоянием $b^3\Sigma_u^+$. Колебательные ф-ции состояния $^3\Pi_u$ найдены вариац. путем, а ядерные ф-ции непрерывного спектра состояния $^3\Sigma_u^+$ получены в модели сферич. ящика. На конечном этапе расчета получены времена жизни предиссоциацииющих колебательных уровней состояния $^3\Pi_u$, которые сравнены с экспериментальными.

А. И. Дементьев

оф. 1988, 18, N 11

H₂

(M. 29633)

1988

transam
hydrocols.
? C₁₁u COCM

109: 61694v Theoretical study of the rotational predissociation of the c¹¹u state of molecular hydrogen. Martin, F.; Borondo, F. (Fac. Cienc., Univ. Auton. Madrid, Madrid, Spain 28049). *Chem. Phys. Lett.* 1988, 147(2-3), 246-52 (Eng). The rotational coupling responsible for this process is accurately calcd. for the internuclear distances of interest, and the validity of the pure precession approxn. in this particular case is analyzed. Numerical results for the predissociative life-times of the vibrational levels of this state are compared with previous exptl. and theor. values.

C.A. 1988, 109, n 8

H_2

OM. 30868; 30997 1988

110: 66717k Predissociation of the D¹ Π_u^+ state of molecular hydrogen by photon impact. Mrugala, Felicja (Inst. Phys., Nicholas Copernicus Univ., 87-100 Torun, Pol.). *Mol. Phys.* 1988, 65(2), 377-89 (Eng). The resonances in the photodissocn. reaction $H_2(X\ ^1\Sigma_u^+; \nu' = 0, J' = 0, 1, 2) + h\nu \rightarrow H(1s) + H(2s, 2p)$, related to the predissociating D¹ Π_u^+ ; $\nu = 3 - 5$, $J = J' + 1$ levels, were investigated theor. within the close coupling approach accounting for all nonadiabatic interactions between the D state and the 2 dissociative B¹ Σ_u^+ and B'¹ Σ_u^+ states, and within the perturbative discrete-continuum configuration mixing approach of Fano. The Λ -doublings, the profile parameters, and the $H(2s)/(H(2s) + H(2p))$ branching ratios corresponding to these resonances were calcd. using the accurate ab initio results for the potential energy curves and for the nonadiabatic couplings, obtained recently by L. Wolniewicz and K. Dressler, (1988). An improvement over previous D state predissocn. calcns. was achieved in overall consistency of the results with the exptl. data. The discrepancies remaining are of order of 10%. A new computational method, based on the log-deriv. algorithms, was worked out to perform the perturbative anal. of the resonance profiles. Following this method, the perturbative anal. becomes definitely less laborious and, if not adequate, may serve to facilitate the more rigorous lifetime matrix anal. of resonances.

preucco3,
D¹ Π_u^+

C.A. 1989, 110, N8

H_2

от. 30868; 30997 1988

6 Д263. Предиссоциация $D^1\Pi_u^+$ состояния молекулы H_2 фотонным ударом. Predissociation of the $D^1\Pi_u^+$ state of H_2 by photon impact / Mrugala Felicja // Mol. Phys.— 1988.— 65, № 2.— С. 377—389.— Англ.

Методом сильной связи исследованы резонансы в реакции фотодиссоциации $H_2(X^1\Sigma_g^+, v'=0, I'=0-2) + \hbar\omega \rightarrow H(1s) + H(2s, 2p)$, обусловленные предиссоциацией $D^1\Pi_u^+$ состояния. При расчете использован метод Фано пертурбативного смешивания дискретного спектра и континуума и учтены все неадиабатич. взаимодействия между D состоянием и диссоциативными состояниями $B^1\Sigma_u^+$ и $B'^1\Sigma_u^+$. С использованием неэмпирич. результатов для потенц. кривых вычислены Л-удвоения, параметры профиля и отношение ветвления $H(2s)/(H(2s) + H(2p))$. Разработан новый вычислительный метод для пертурбативного анализа профиля резонанса. По сравнению с предыдущими расчетами получено более удовлетворительное согласие с эксперим. данными, однако разница составляет $\sim 10\%$.

А. И. Воронин

сб. 1989, № 6

H_2

Жн 30350

1988

1 2Д41. Точный потенциал для основного состояния молекулы водорода. Accurate potential for the ground state of the hydrogen molecule / Pardo A., Poyato J. M. L., Camacho J. J., Martin E. // Spectrochim. acta A.— 1988.— 44, № 4.— С. 335—339.— Англ.

С использованием спектроскопич. констант и поправок высших порядков определен потенциал для основного электронного состояния молекулы водорода. Методом аппроксимант Паде получена его аналитич. параметризация. Самосогласованность этого потенциала проверяется путем решения радиального волн. ур-ния. Полученные с его помощью теоретич. значения параметров B_v , D_v и H_v , определяющих вращательную структуру каждого колебательного уровня молекулы, хорошо согласуются с их эксперим. величинами. Вычислена поправка к энергиям колебательных уровней ($\sim 1,45 \text{ см}^{-1}$), не зависящая от колебательного и вращательного квантовых чисел. Приведены уточненные значения энергий колебательно-вращательных уровней.

В. М. Стрельченя

ф. 1989, № 2

H_2

1988

Perry G.

Z. Phys. D: At., Mol.
Clusters 1988, 10 (1),
93-8.

(C₆₀, O₂; II)

(f_{mn})

H₂

(M-30350)

1988

10MRS. KULL
OCH. CDM.

109: 82219j Accurate potential for the ground state of the hydrogen molecule. Pardo, A.; Poyato, J. M. L.; Camacho, J. J.; Martin, E. (Fac. Cienc., Univ. Auton. Madrid, Madrid, Spain 28049). *Spectrochim. Acta, Part A* 1988, 44A(4), 335-9. (Eng). Starting from the spectroscopic consts., an electronic potential for ground state H₂ is presented. Self-consistence was checked by numerical integration of the radial wave equation. The mean eigenvalue deviation is ~1 cm⁻¹. Comparison with the latest theor. work is considered. New revised spectroscopic consts. and vibrational quanta were calcd.

C.A. 1988, 109, n 10

H_2

(M. 29782)

1988

Rijks W., Wormer P.E.S.

J. Chem. Phys., 1988, 88,
N9, 5704-5714.

nonpuzzers,

neopen.

pacem Correlated van der Waals
coefficients for dimers
consisting of He, Ne, H_2
and N_2 .

H_2

(Om-30744)

1988

5 Д64. Состояние $e^3\Sigma_u^+$ молекулы H_2 . The $e^3\Sigma_u^+$ state of the H_2 molecule / Rychlewski Jacek // Chem. Phys. Lett.— 1988.— 151, № 6.— С. 553—556.— Англ.

Для молекулы H_2 в диапазоне межъядерных расстояний $1,0 \div 12$ ат. ед. рассчитана потенциальная кривая состояния $e^3\Sigma_u^+$. Расчет проводился с оптимизацией всех линейных и нелинейных параметров пробной ф-ции, явно зависящей от межъядерного расстояния. Приведены величины энергии диссоциации, электронной энергии и ее производной по межъядерному расстоянию. Численным интегрированием получены колебательные волны. ф-ции и энергии колебательных состояний молекул H_2 и D_2 . Из сравнения с эксперим. данными в области равновесной геометрич. конфигурации оценена величина ошибки сходимости потенц. энергии в приближении Борна—Оппенгеймера в 40 см^{-1} . Адиабатич. поправка к энергии диссоциации составила величину порядка 117 см^{-1} .

С. А. Богданова

41

cb. 1989, N5

H_2

01 30 744

1988

10 Б1030. Состояние $e^3\Sigma_u^+$ молекулы H_2 . The $e^3\Sigma_u^+$ state of the H_2 molecule / Rychlewski J. // Chem. Phys. Lett.— 1988.— 151, № 6.— С. 553—556.— Англ.

В рамках приближения Борна-Оппенгеймера рассчитана потенциальная кривая состояния $e^3\Sigma_u^+$ молекул H_2 и D_2 в интервале межъядерных расстояний R от 1 до 12 ат. ед. Использован базис из 70 ф-ций, заданных как произведения степени межэлектронного расстояния и антисимметризованного произведения экспонент от эллипсоидальных координат электронов на степени этих координат. Параметры экспонент при каждом значении R оптимизованы. По найденным значениям E и (из теоремы вириала) dE/dR ф-ция $E(R)$ интерполирована полиномами пятой степени и с нею численно решено ядерное ур-ние для низших 10-ти колебат. уровней H_2 и D_2 . При сопоставлении вычисленных колебат. энергий H_2 и D_2 с эксперим. получены оценки ошибки E вблизи R_e (40 см^{-1}) и адиабатич. поправок для низшего уровня (42 см^{-1} для H_2 и 21 см^{-1} для D_2).

Б. Ф. Хрустов

М.Н.

(7) 18

X. 1989, N 10

H₂

1988

18 Б1268. Измерения излучательных времен жизни молекулы H₂. Radiative lifetime measurements for H₂ molecule. Sánchez J. A., Campos J. «J. phys.», 1988, 49, № 3, 445—449 (англ.; рез. фр.)

Методом запаздывающих совпадений измерены излучат. времена жизни (τ в нс) ряда синглетных и триплетных электронных состояний молекулы H₂; состояние G₁ Σ_g^+ , $V=0$, ($\lambda=462,8$ нм), $J=1-\tau=23,7$; (463,45 нм), $J=2,3-\tau=25,0$; $V=1$ (533,62 нм), $J=3,4,5-\tau=25$; состояние $I^1\Pi_g$ (в основном Π^+ -компоненты) $V=0$ (458,0 нм), $J=1,2,3-\tau=23,3$; (457,59 нм), $J=3-\tau=25,3$; $V=1$ (418,22 нм), $J=1,4-\tau=20,9$; (417,13 нм, Π^- -компонента), $J=4-\tau=21,5$; $V=2$ (478,94 нм) $J=1,3-\tau=33,0$; (406,24 нм), $J=4,5-\tau=28,9$; состояние K₁ Σ_g^+ , $V=0$ (466,14 нм), $J=1,2,3-\tau=56,3$; (609,50 нм), $J=3-\tau=56,4$; $V=1$ (503,98 нм), $J=1,2,3-\tau=61,9$; $V=2$ (407,88 нм), $J=1-\tau=34,5$; (408,78 нм); $J=3-\tau=39,4$; состояние N₁ Σ_g^+ , $V=1$ (505,50 нм), $J=1-\tau=40,4$; состояние $J_1\Delta_g^-$, $V=0$ (450,19 нм), $J=2-\tau=34,3$; состояние P₁ Σ_g^+ , $V=0$ (427,90 нм), $J=1,5-\tau=34,3$.

H·A.

X. 1988, 19, № 18

$\tau = 51,3$; состояние $U, V=1$ (465,40 нм), $J=3,5 - \tau = 110$; состояние $d^3\Pi_u^-$, $V=0$ (601,83 нм), $J=1 - \tau = 30,0$; $V=1$ (612,18 нм), $J=1 - \tau = 26,8$; $V=2$ (622,48 нм), $J=1 - \tau = 22,3$; состояние $U, V=1$ (571,34 нм), $J=2 - \tau = 53,8$; состояние $J^3\Delta_g^-$, $V=0$ (572,35 нм), $J=2 - \tau = 15,3$. В скобках приведены длины волн на которых проводились измерения. Результаты сопоставлены со значениями τ , полученными из измерения эффекта Хенля, и с данными теорет. расчетов. В. М. Ковбас.



H_2

1988

(2)

108: 158317s Radiative lifetime measurements for the hydrogen (H_2) molecule. Sanchez, J. A.; Campos, J. (Fac. Cienc. Fis., Univ. Complutense Madrid, Madrid, Spain 28040). *J. Phys. (Les Ulis, Fr.)* 1988, 49(3), 445-9 (Eng). Radiative lifetime for 17 vibrational levels corresponding to 7 singlet and 3 triplet electronic states were measured by using a delayed-coincidence method. Measurements were reported of 4 H_2 levels with lifetimes 34-110 ns.

C.A. 1988, 108, n18

H₂

9 Д65. Состояния $B^1\Sigma_u^+$, $B'^1\Sigma_u^+$, $C^1\Pi_u$ и $D^1\Pi_u$ молекулы водорода. Неэмпирические расчеты колебательно-вращательного взаимодействия в H_2 , HD и D_2 . The $B^1\Sigma_u^+$, $B'^1\Sigma_u^+$, $C^1\Pi_u$, and $D^1\Pi_u$ states of hydrogen.

Ab initio calculation of rovibronic coupling in H_2 , HD , and D_2 / Senn P., Quadrelli P., Dressler K. // J. Chem. Phys.—1988.—89, № 12.—С. 7401—7427.—Англ.

Выполнены расчеты колебательно-вращательных уровней для четырех взаимодействующих электронных состояний изотопомеров молекулы водорода. В расчете использованы неэмпирические адиабатич. потенц. кривые H_2 , адиабатич. поправки и ф-ции неадиабатич. взаимодействия, полученные ранее Вольневичем и Дресслером. Для каждого из значений вращательного квантового числа $j=1-6$ численно решена система связанных колебательных ур-ний с учетом как гомогенных ($\Sigma^+-\Sigma^+$ и $\Pi-\Pi$), так и гетерогенных ($\Sigma^+-\Pi$) взаимодействий. Полученные энергетич. уровни хорошо согласуются с имеющимися эксперим. данными и позволяют в ряде случаев провести переотнесение спектров. Отмечено, что в проведенных расчетах не учитывались неадиабатич. возмущения, вызванные состояниями ридберговых серий $пр^1\Sigma_u^+$ и $пр^1\Pi_u$ для

М.Н.

DM 3/75-4

+2

cf. 1989, № 9

$n \geq 4$ и ионизационным континуумом, что было сделано в расчетах колебательно-вращательной структуры спектра в рамках многоканальной теории квантового дефекта (Jungen C. H., Atabé O. // J. Chem. Phys.—1977.—66.— С. 5584) А. И. Дементьев

(разл,

от 31.754 1988

14 Б1081. Состояния $B^1\Sigma_u^+$, $B'^1\Sigma_u^+$, $C^1\Pi_u$ и $D^1\Pi_u$ молекулы водорода. Неэмпирический расчет колебательно-вращательных взаимодействий в H_2 , HD и D_2 . The $B^1\Sigma_u^+$, $B'^1\Sigma_u^+$, $C^1\Pi_u$ and $D^1\Pi_u$ states of hydrogen. Ab initio calculation of rovibronic coupling in H_2 , HD, and D_2 / Senn P., Quadrelli P., Dressler K. // J. Chem. Phys.—1988.—89, № 12.—С. 7401—7427.—Англ.

Неэмпирический расчет колебательно-вращат. структуры четырех электронных состояний B , B' , C и D молекул H_2 , HD, D_2 выполнен с учетом неадиабатич. взаимодействий. Для расчета использованы потенциальные кривые с учетом адиабатич. поправок, рассчитанные плоть до диссоциац. предела. Неадиабатич. система ур-ний для определения колебательно-вращат. уровней энергии решена численно для различных значений вращат. квантового числа I от 0 до 6. Результаты хорошо согласуются с эксперим. данными. Ошибки в оценке высших колебат. уровней не превышают 2 см^{-1} и объяснены неучетом неадиабатич. взаимодействий с высшими ридберговыми электронными состояниями.

Б. И. Жилинский

М.Л.

№ 72

Х. 1989, N 14

H_2

OM 31754 1988

110: 65833h The $B^1\Sigma^+$, $B'^1\Sigma_u^+$, $C^1\Pi_u$, and $D^1\Pi_u$ states of hydrogen. Ab initio calculation of rovibronic coupling in molecular hydrogen, hydrogen deuteride, and molecular deuterium. Senn, P.; Quadrelli, P.; Dressler, K. (Phys. Chem. Lab., ETH-Zent., CH-8092 Zurich, Switz.). *J. Chem. Phys.* 1988, 89(12), 7401-27 (Eng). The nonadiabatic rovibronic structures of the B, B', C, and D states of H_2 , HD, and D_2 were calcd. up to the common dissocn. limit of the first 3 of these electronic states using the ab initio adiabatic potential curves and nonadiabatic coupling functions published recently by L. Wolniewicz and D. (1988). The homogeneous ($\Sigma^+ - \Pi^+$) interactions are treated simultaneously by numerical soln. of the coupled vibrational equations for each J value from $J = 0$ to $J = 6$. The calcd. nonadiabatic energy shifts, which show strong v - and J -dependent variations within each electronic state and which spread over approx. ± 50 cm^{-1} for $J = 6$ in H_2 , yield rovibronic structures in very good agreement with spectroscopic term values. A no. of published spectroscopic assignments, including states close to the dissocn. limit, must be reevaluated in the light of this calcn. The remaining energy errors are nuclear-mass dependent and are attributed to the neglected nonadiabatic interactions with the higher members of the $^1\Sigma_u^+$ and $^1\Pi$ Rydberg series. The convergence errors of the Born-Oppenheimer energies of all 4 electronic states treated here appear to be at most 2 cm^{-1} for the highest bound vibrational states and < 1 cm^{-1} for the lowest ones.

$B^1\Sigma^+$, $B'^1\Sigma_u^+$,
 $C^1\Pi_u$, $D^1\Pi_u$

ab initio pac
zen, kongress
yr 1988.

42 (42)

C.A. 1989, 110,
N 8

40, 82

H₂

1988

109: 118540y Laser spectroscopy of ($v = 0, R = 1$)10F and ($v = 0, R = 1$)10G states of hydrogen: a test of the polarization model. Sturros, W. G.; Hessels, E. A.; Arcuni, P. W.; Lundein, S. R. (Dep. Phys., Univ. Notre Dame, Notre Dame, IN 46556 USA). *Phys. Rev. A: Gen. Phys.* 1988, 38(1), 135-51 (Eng). Rydberg states of H₂ consisting of a 10F or 10G electron bound to the $v = 0, R = 1$ state of H₂⁺ are studied using Doppler-tuned laser spectroscopy of Rydberg-Rydberg transitions. The positions of all such states are measured to a precision of better than 0.01 cm⁻¹ and are compared with the predictions of the polarization model. The polarization model is derived from first principles. Nonadiabatic corrections to the dipole polarization energies, calcd. for the first time, are expressible in terms of the S-3-moment functions of H₂⁺. Higher-order adiabatic polarization energies are estd. from calcd. higher-order H₂⁺ polarizabilities.

laser CREMPO
CKONELL

C.A. 1988, 109, N.Y

H₂

1988

(Puglisi-WCM) 111: 104712k Spectroscopy of high angular momentum Rydberg states of molecular hydrogen and the polarization model. Sturru, William Gregory (Univ. Notre Dame, Notre Dame, IN USA). 1988. 273 pp. (Eng). Avail. Univ. Microfilms Int., Order No. DA8901494. From *Diss. Abstr. Int. B* 1989, 49(10), 4372.

C.A. 1989, 111, n/2

H₂

Окт. 31/61

1988

5 Л125. Микроволновая спектроскопия ридберговских состояний H_2 с высокими значениями L . Состояния (0,1) 10 G, H, I и K. Microwave spectroscopy of high- L H_2 Rydberg states. The (0,1) 10 G, H, I and K states / Sturrs W. G., Hessels E. A., Arcuni P. W., Lundeen S. R. // Phys. Rev. Lett.— 1988.— 61, № 20.— C. 2320—2323.— Англ.

С применением техники двойного микроволн.-оптич. резонанса на пучке H_2 изучена тонкая структура системы ридберговских уровней состояний $n=10$, $L=4 \div 7$ (L — орбитальный угловой момент), связанных с состоянием ($v=0$, $R=1$) иона H_2^+ (v — характеризует колебат. состояние остова, а R — вращательный угловой момент остова). Измеренные положения уровней согласуются с результатами проведенных расчетов, если полагать, что электрический квадрупольный момент состояния (0,1) иона H_2^+ равен $1,6432(2) e a_0^2$, что на $0,04(1)\%$ больше, чем наиболее точное значение, приведенное в литературе. Отмечается, что это разли-

М.Л.

окт. 1989, № 5

чие является существенным и, вероятно, не может быть объяснено пренебрежением релятив. эффектами в расчетах.

В. А. Морозов

ПТЬ
спект
ис

H₂

1988

Sundholm &.

Chem. Phys. Lett. 1988,
149, N 3, - C. 257-258.

M.R.

(see LiH; II)

H_2 (aq)

1989

110: 124171r The rotational Raman spectrum of molecular hydrogen in water. Taylor, David G., III; Strauss, Herbert L. (Dep. Chem., Univ. California, Berkeley, CA 94720 USA). *J. Chem. Phys.* 1989, 90(2), 768-72 (Eng). The 1st 4 rotational Raman lines of H_2 dissolved in water were obsd. The lines broaden considerably, but do not shift in position, compared to the corresponding lines of gas phase H_2 . The breadth of the lines varies with J and with the change from H_2O to D_2O . The H_2 rotational motion is thought to interact with the librational motion of the water mols.

(CKP)

C.A.1989, 110, N 14

от. № 29417 1988

15 Б1058. Гауссовые функции в расчетах методом Хиллерааса — КВ. I. Энергии основных состояний H_2 , HeH^+ и H_3^+ . Gaussian functions in hylleraas-Cl calculations. I. Ground state energies for H_2 , HeH , and H_3^+ . Urdañeta C., Largo-Cabrerizo A., Lievin J., Lie G. C., Clementi E. «Chem. Phys.», 1988, 88, № 3, 2091—2093 (англ.)

Энергии основных электронных состояний двухэлектронных молекул H_2 , HeH^+ и H_3^+ рассчитаны методом конфигурац. взаимодействия (КВ) с явной зависимостью конфигурац. ф-ций состояния от межэлектронного расстояния (метод Хиллерааса — КВ) в базисе декартовых гауссовых ф-ций. Использован предложенный авторами метод вычисления возникающих в методе Хиллерааса — КВ двухэлектронных многоцентровых интегралов от гауссовых ф-ций. Исследована зависимость энергий от размерности и состава базиса. В случае H_2 получена энергия, лишь на $1,8 \text{ см}^{-1}$ превышающая точное значение. Для H_3^+ получена лучшая в настоящее время оценка энергии: $-1,343500$ ат. ед. (геометрич. конфигурация правильного треугольника со стороной $1,6405$ ат. ед.).

А. А. Сафонов

№ 2

М.Н.

№ 2

Х. 1988, 19, N 15

00. 29417 1988

H₂
9 Д113. Гауссовые функции в расчетах методом КВ хиллераасовского типа. I. Энергии основных состояний H₂, HeH⁺ и H₃⁺. Gaussian functions in Hylleraas-CI calculations. I. Ground state energies for H₂, HeH⁺, and H₃⁺. Urdaleta C., Largo-Carbreirizo A., Lievin J., Lie G. C., Clementi E. «J. Chem. Phys.», 1988, 88, № 3, 2091—2093 (англ.)

Для исследования эффективности метода конфигурац. взаимодействия хиллераасовского типа (КВ-Х), который отличается от канонич. метода КВ тем, что каждая конфигурация умножается на межэлектронное расстояние r_{12} , проведены расчеты энергии основных электронных состояний систем H₂, HeH⁺ и H₃⁺. Расчеты показывают, что метод КВ-Х позволяет с высокой точностью учесть корреляционные поправки даже при использовании ограниченных базисов АО. Напр., для H₂ расчет этим методом в базисе гауссовых ф-ций [13s], не включающем поляризационных орбиталей, позволяет учесть 86,2% корреляционной энергии, а в базисе [13s2p1d] метод ВК-Х учитывает 99,6% корреляционной энергии.

А. И. Дементьев

Ф. 1988, 18, №

(X) 72

1988

18 Б1272. Диссоциация двукратно возбужденных состояний H_2 на ридберговские атомы. Dissociation of doubly excited states of H_2 into Rydberg atoms. Verschuur J. W. J., Noordam L. D., Bonnie J. H. M., van Linden van den Heuvell H. B. «Chem. Phys. Lett.», 1988, 146, № 3—4, 283—290 (англ.)

Исследована диссоциация молек. водорода в четных и нечетных двукратно возбужденных электронных Q_1 -состояниях с остовом ($2p\sigma_u$) на атомы $H(1s)$ и $H(nl)$. Использовался метод резонансно усиленной многофотонной ионизации с регистрацией получающихся при диссоциации возбужденных фрагментов путем их ионизации и измерения энергии образующихся электронов. Возбуждение осуществлялось импульсным перестраиваемым лазером на красителе с удвоением частоты (280—330 нм, ширина полосы возбуждения $\sim 2 \text{ см}^{-1}$) через промежут. состояние $(1s\sigma_g 2p\sigma_u) B^1\Sigma_u^+$ ($v', J' = 2$) (трехфотонное поглощение) с последующими дис-

М.Н.

Х. 1988, 19, N 18

социативным возбуждением и ионизацией фрагментов в результате поглощения еще одного или двух фотонов. Впервые наблюдались Q_1 -состояния со всеми главными квантовыми числами, диссоциация к-рых дает полные ридберговские серии атомных фрагментов от $n=3$ до $n \rightarrow \infty$.

В. М. Ковба

ly e
valc7

1988

H₂

10 Д69. Состояния $B^1\Sigma_u^+$, $B'^1\Sigma_u^+$, $C^1\Pi_u$ и $D^1\Pi_u$ молекулы H_2 . Матричные элементы для операторов углового и радиального неадиабатического взаимодействия и улучшенные неэмпирические кривые потенциальной энергии. The $B^1\Sigma_u^+$, $B'^1\Sigma_u^+$, $C^1\Pi_u$, and $D^1\Pi_u$ states of the H_2 molecule. Matrix elements of angular and radial nonadiabatic coupling and improved ab initio potential energy curves. Wolniewicz L., Dressler K. «J. Chem. Phys.», 1988, 88, № 6, 3861—3870 (англ.)

M.P.

Рассчитаны более точные, чем имелись ранее, волн. ф-ции и потенц. кривые электронных состояний $B^1\Sigma_u^+$, $B'^1\Sigma_u^+$, $C^1\Pi_u$ и $D^1\Pi_u$ молекулы H_2 . Полученные волн. ф-ции использованы для расчета матричных элементов неадиабатич. взаимодействия между рассмотренными состояниями в районе изменения межъядерного расстояния 0,75—8 ат. ед. Построенные аднабатич. потенц. кривые позволяют получить колебательные частоты для всех 4 электронных состояний ($v=0$) с ошибкой, не превышающей 2,2 см⁻¹.

А. И. Дементьев

φ, 1988, 18, N 10

1988

H_2

18 Б1031. Состояния $B^1\Sigma_u^+$, $B'^1\Sigma_u^+$, $C^1\Pi_u$ и $D^1\Pi_u$ молекулы H_2 . Матричные элементы углового и радиального неадиабатического взаимодействия и уточненные неэмпирические кривые потенциальной энергии. The $B^1\Sigma_u^+$, $B'^1\Sigma_u^+$, $C^1\Pi_u$, and $D^1\Pi_u$ states of the H_2 molecule. Matrix elements of angular and radial nonadiabatic coupling and improved ab initio potential energy curves. W o l n i e w i c z L., Dressler K. «J. Chem. Phys.», 1988, 88, № 6, 3861—3870 (англ.)

М.Н.

В связи с высокой чувствительностью матричных элементов неадиабатич. взаимодействия к точности и ортогональности волновых ф-ций для описания состояний $B^1\Sigma_u^+$, $B'^1\Sigma_u^+$, $C^1\Pi_u$ и Π_u молекулы H_2 использованы более гибкие по сравнению с предшествовавшими расчетами волновые ф-ции, представленные в виде 133-членных (для состояний B и B') и 150-членных (для состояний C и D) разложений по эллипсоидальным координатам электронов и межэлектронному расстоянию. В широком интервале межъядерных расстояний (от 1 до 30 ат. ед.) рассчитаны ф-ции радиального и углового

Х. 1988, 19, № 18

го неадиабатич. взаимодействия. Наряду с борн-оппенгеймеровскими потенциальными кривыми состояний B , B' , C и D , приведены потенциальные кривые трех выше-лежащих состояний ${}^1\Sigma_u^+$; обсуждены их псевдопересечения. При равновесных расстояниях полученные энергии ниже рассчитанных ранее на $0,26$, $7,80$, $0,60$ и $5,72 \text{ см}^{-1}$ для состояний B , B' , C и D , соотв. С учетом адиабатич. поправки рассчитаны колебательные уровни; отклонения энергий нулевых уровней от эксперим. данных составили от $0,6$ до $2,2 \text{ см}^{-1}$. А. А. Сафонов

ДИМОД
ЧИЙ

1988

H₂

MOREM-
FACREN
BOFFYALG-
COCHONIK.

109: 43604m The B $^1\Sigma_u^+$, B' $^1\Sigma_u^+$, C $^1\Pi_u$, and D $^1\Pi_u$ states of molecular hydrogen. Matrix elements of angular and radial nonadiabatic coupling and improved ab initio potential energy curves. Wolniewicz, L.; Dressler, K. (Phys. Chem. Lab., ETH-Zent., CH-8092 Zurich, Switz.). *J. Chem. Phys.* 1988, 88(6), 3861-70 (Eng). The B, B', C, and D states of H₂ are represented over wide ranges of the internuclear distance R by considerably more flexible electronic wave functions than the ones previously employed. These are used to compute the nonadiabatic coupling matrix elements for the homogeneous B'-B and D-C and the heterogeneous C-B, C-B', D-B, and D-B' interactions over a wide range of R values. The adiabatic potential curves obtained from the new electronic wave functions yield vibrational term values which, for the v = 0 levels, lie within 0.6 to 2.2 cm⁻¹ of the exptl. ones in these four electronic states of H₂. After subtracting the nuclear-mass-dependent contributions to these ab initio errors, which can be estd. by comparing H₂ with D₂, the remaining electronic errors near the equil. internuclear distances of these electronic states are approx. 0.3 cm⁻¹ (C and D state) and 1 cm⁻¹ (B and B' state). In the C, D, and B' states this represents improvements by 0.7, 6, and 8 cm⁻¹, resp., over the previous ab initio values.

C.A. 1988, 109, N 6

H₂

[On. 29004]

1988

Zhu Z.H., Wang F.,

nomous.
Kao,
OCIOH
COCHETH., J. Mol. Struct. Theochem.

neopem. 1988, 164, N1-2, 165-173.
paerem

H₂

1989

' 111: 204430k Wavelengths, oscillator strengths and transition probabilities of the hydrogen molecule for Lyman and Werner systems. Abrall, H.; Roueff, E. (Sect. Meudon, Obs. Paris, F-92195 Meudon, Fr.). *Astron. Astrophys., Suppl. Ser.* 1989, 79(3), 313-28 (Eng). Wavelengths, oscillator strengths and transition probabilities were calcd. for the Lyman and Werner band systems of the H₂ mol. Those calcns. are performed for the first 15 rotational excited levels by including rotational coupling effects between the B and C electronic states. The expected accuracy should be better than 1 reciprocal centimeter for the wavenumbers.

GREEN

C.A.1989, 111, N22

1989

H₂

12 Б1038. Очень точные расчеты нейтральных двухатомных молекул и их анионов с численными орбиталями. Very accurate calculations for diatomic, neutral and anionic systems with numerical orbitals / Adamowicz L. // Numer. Determin. Electron. Struct. Atoms, Diatom. and Polyatom. Mol.: Proc. NATO Adv. Res. Workshop, Versailles, 17—22 Apr., 1988.— Wordrecht etc., 1989.— С. 177—200.— Англ.

ll/1.

Описана методика и представлены результаты расчета энергий низколежащих электронных состояний (ЭНЛЭС) двухатомных молекул (H₂, HF, LiH, BeO, NaF, LiCl, NaCl) и их анионов (кроме H₂ и HF), по точности не уступающего лучшим лит. данным. В подсистемах базисных орбиталей (БО), заданных в эллипсоидальных координатах ($1 \leq \xi < \infty$, $-1 \leq \eta \leq 1$, $0 \leq \phi < 2\pi$) как $\sum_e \chi_e(\xi) p_e^m(\eta) \exp(i m \phi)$ (где p_e^m — присоединенные ф-ции Лежандра), $\chi_e(\xi)$ определяют при численном решении ур-ний метода МК ССП для выделенных электронных кластеров ($\chi_e(\xi)$ для остальных

(f6)

X. 1990, N 12

электронов зафиксированы на уровне приближения ССП). Из объединения подсистем БО после их ортогонализации исключают орбитали, связанные с наименьшими собственными значениями матрицы перекрытия. В пространстве, натянутом на оставшиеся БО, м. б. выделено для расчета ЭНЛЭС подпространство, на к-ром оптимальны оценки ф-ционала Хиллерааса. После преобразований БО приводят к указанному выше виду и заново пересчитывают интегралы. Оценки ЭНЛЭС получены методами многочастичной теории возмущений (от 2-го до 4-го порядка) и связанных кластеров (до 3-го порядка). Рассмотрены влияние описанной группировки базиса на корреляц. поправки, а также — роль угловой корреляции в поправке 2-го порядка. Представлена и продемонстрирована на перечисленных молекулах методика сбалансир. учета корреляции в молекуле и анионе, обеспечивающая получение точных оценок сродства к электрону. В. Ф. Хрустов

H_2

1989

III: 14561f Reinvestigation of the Raman spectra of dihydrogen trapped in rare gas solids. I. Molecular hydrogen, hydrogen deuteride, and molecular deuterium: monomeric species. Alikhani, M. E.; Silvi, B.; Perehud, J. P.; Chandrasekharan, V. (Lab. Spectrochim. Mol., Univ. Pierre et Marie Curie, 75230 Paris, 05 Fr.). *J. Chem. Phys.* 1989, 90(10), 5221-31 (Eng). The vibration-rotation and pure rotational Raman spectra of H_2 , HD, and D₂ trapped in Ar, Kr, and Xe matrixes were recorded at 9 K. The frequencies which were measured within an accuracy of 0.3 cm⁻¹ are compared to the results of recent calcs. Except for the S₀(0) line of HD the agreement between obsd. and calcd. matrix shifts is satisfactory. The anomalous blue shift obsd. for the S₀(0) line of HD is well interpreted within the rotation translation coupling (RTC) framework.

(CKP & AR)

DHD, D₂

C.A. 1989, III, N2

H₂

1989

Czechos

112: 128142w Observation of stimulated hyper-Raman scattering in hydrogen. Czarnetzki, U.; Wojak, U.; Doebele, H. F. (Inst. Laser-Plasmaphys., Univ. Gesamthochsch. Essen, D-4300 Essen, 1 Fed. Rep. Ger.). *Phys. Rev. A* 1989, 40(10), 6120-3 (Eng). Along with 2-photon excitation of H₂ (X → EF) stimulated electronic hyper-Raman scattering (SEHRS) is obsd. on 4 of 7 2-photon resonances. The tunable Stokes transitions to B-state levels are in the range 750-840 nm. This is the 1st observation of SEHRS with a mol. In addn., an unassigned stimulated line, red shifted by 26.7 cm⁻¹ relative to the EF ($v' = 6$) → B($v'' = 1$) P(2) line, is obsd. This transition entails 4 addnl. vacuum UV lines, blueshifted by the same amt. relative to tabulated B → X transitions.

c.a. 1990, 112, N 14

H₂

1989

5 Д139. Функции Гаусса в расчетах методом конфигурационного взаимодействия Хиллерааса. II. Потенциальные кривые состояний $b^3\Sigma_u^+$ и $e^3\Sigma_u^+$ молекулы водорода. Gaussian functions in Hylleraas configuration interaction calculations. II. Potential curves for the $b^3\Sigma_u^+$ and the $e^3\Sigma_u^+$ states of hydrogen / Frye D., Lie G. C., Clementi E. // J. Chem. Phys.— 1989.— 91, № 4.— С. 2366—2368.— Англ.

Методом конфигурац. взаимодействия Хиллерааса, в котором каждая конфигурационная ф-ция состояния умножена на межэлектронное расстояние r_{ij} (см. ч. I. Urdaneta C. et al. // J. Chem. Phys.— 1988.— 88.— С. 2091), рассчитаны потенц. кривые низшего разлетного состояния $b^3\Sigma_u^+$ и связанного состояния $e^3\Sigma_u^+$ молекулы H₂. Базис включал набор 14s7p1d декартовых гауссовых ф-ций. Расчет проводился в 15 точках в районе изменения межъядерного расстояния R от 1 до 12 ат. ед. Сравнение полученных полных энергий H₂ в состоянии $b^3\Sigma_u^+$ с данными расчетов Колоса и Вольневича показало, что при малых значениях R использованный

φ. 1990, N5

подход дает более низкие значения полной энергии и
в отличие от методики Колоса и Вольневича может
быть использован для расчета многоатомных молекул.

А. И. Дементьев

H_2

1989

7 Б1013. Гауссовые функции в расчетах методом Хиллерааса — конфигурационного взаимодействия. II. Потенциальные кривые состояний $b^3\Sigma_u^+$ и $e^3\Sigma_u^+$ водорода. Gaussian functions in Hylleraas—configuration interaction calculations. II. Potential curves for the $b^3\Sigma_u^+$ and the $e^3\Sigma_u^+$ states of hydrogen / Frye D., Lie G. C., Clementi E. // J. Chem. Phys.— 1989.— 91, № 4.— С. 2366—2368.— Англ.

Методом Хиллерааса — конфигурац. взаимодействия в базисе гауссовых ф-ций рассчитаны потенциальные кривые состояний $b^3\Sigma_u^+$ и $e^3\Sigma_u^+$ молекулы H_2 в интервале межъядерных расстояний от 1,0 до 12,0 ат. ед. Волновые ф-ции представляли собой линейные комбинации конфигурац. ф-ций состояния (КФС) и КФС, умноженных на межэлектронное расстояние r_{12} . КФС построены из МО метода ССП в геометрич. базисе гауссовых ф-ций ($14s7p1d$), параметры к-рых оптимизиро-

X. 1990, № 7

ваны в каждой точке потенциальной кривой. Для состояния $b^3\Sigma_u^+$ при малых расстояниях ($R \leq 2,5$ ат. ед.) получены более низкие энергии, чем в расчетах Колоса и Волниевича, использовавших разложение в эллипсоидальных координатах. Потенциальная кривая состояния $e^3\Sigma_u^+$ согласуется с результатами предшествовавших расчетов стандартным методом конфигурац. взаимодействия.

А. А. Сафонов

бес
 Σ_u^+ ,
макс.

1989

H₂

5 Д140. Функции Гаусса в расчетах методом конфигурационного взаимодействия Хиллерааса. III. Волновые функции для состояния $X^1\Sigma_g^+$ молекулы водорода. Gaussian functions in Hylleraas configuration interaction calculations. III. Wave functions for the $X^1\Sigma_g^+$ state of hydrogen / Frye D., Lie G. C., Clementi E. // J. Chem. Phys.— 1989.— 91, № 4.— С. 2369—2372.— Англ.

ll.1.

Метод полного конфигурац. взаимодействия Хиллерааса использован для расчета потенц. кривой основного электронного состояния молекулы водорода в базисе гауссовых ф-ций $13s7p3d$. В рассчитанных точках потенциальной кривой полная энергия H_2 получена практически с той же точностью, что и в расчетах Колоса и Вольневича, выполненных вариац. методом в базисе ф-ций Джеймса—Кулиджа (отличие составило не более $0,3 \text{ см}^{-1}$). Выполнен также анализ точности аппроксимации волн. ф-ций для нескольких сечений, перпендикулярных оси симметрии молекулы. Показано, что преимущество метода конфигурац. взаимодействия Хиллерааса по сравнению с канонич. методом КВ связано с лучшим описанием электронных кулоновских дырок.

А. И. Дементьев

cf. jgg0, N5

H_2

1989

7 Б1014. Гауссовые функции в расчетах методом Хиллерааса — конфигурационного взаимодействия. III. Волновые функции для состояния $X^1\Sigma_g^+$ водорода. Gaussian functions in Hylleraas—configuration interaction calculations. III. Wave functions for the $X^1\Sigma_g^+$ state of hydrogen / Frye D., Lie G. C., Clementi E. // J. Chem. Phys.— 1989.— 91, № 4.— С. 2369—2372.— Англ.

Методом Хиллерааса — конфигурац. взаимодействия в базисе гауссовых ф-ций рассчитана энергия основного состояния молекулы H_2 при межъядерных расстояниях 1,0; 1,4011; 4,0 и 8,0 ат. ед. Использованы различные геометрич. наборы гауссовых ф-ций от ($13s7p1d$) до ($13s7p3d1f$) с оптимизированными параметрами. В случае наибольшего базиса отклонение энергии от результатов наиболее точных расчетов Колоса с использованием разложения в эллипсоидальных координатах со-

Х. 1990, N 7

ставило $0,3 \text{ см}^{-1}$ при равновесном межъядерном расстоянии. Проанализированы веса различных членов разложения волновой ф-ции. Сопоставлен ряд сечений для волновых ф-ций метода ССП, стандартного метода конфигурац. взаимодействия (КВ) и метода Хиллерааса — КВ. Показано, что волновые ф-ции метода Хиллерааса — КВ характеризуются несколько большей глубиной кулоновской дырки вокруг электрона. Часть II см. предреферат.

А. А. Сафонов

стоя

H₂

1989

111: 181150c Gaussian functions in Hylleraas-configuration interaction calculations. III. Wave functions for the $X^1\Sigma_g^+$ state of hydrogen. Frye, D.; Lie, G. C.; Clementi, E. (IBM Corp., Kingston, NY 12401 USA). *J. Chem. Phys.* 1989, 91(4), 2369-72 (Eng). The Hylleraas-CI method with Cartesian Gaussian basis functions of various sizes was used to calc. the ground-state energies and wave functions for the hydrogen mol. at internuclear distances of 1.0, 1.4011, 4.0, and 8.0 bohrs. The best basis sets reproduce energies obtained with the confocal elliptical coordinates by W. Kolos, et al., (1986) to within 0.3 cm⁻¹. A few cross sections of the wave functions are presented graphically, showing clearly that the improvement of Hylleraas-CI over a conventional CI is due to the presence of a slightly deeper Coulomb hole around the electrons.

X¹⁵⁺_{2g}, K. M. K.
PACEM

C.A. 1989, 111, N20

H_2

1989

UK-CRICKET

112: 86879j Infrared fluorescence of interstellar molecular hydrogen. Hasegawa, Tetsuo (Sci. Coll., Tokyo Univ., Tokyo, Japan). *Tenmon Geppo* 1989, 82(9), 224-9 (Japan). A review with 6 refs. is given on interstellar H_2 , discovery of IR fluorescence, and the meaning of ortho-para H_2 .

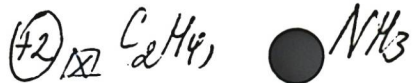
c.A.1990, H_2 , N10

H₂

1989

111: 84258m Spin statistics: an error in Landau and Lifschitz' Quantum Mechanics. Jonas, David M. (Dep. Chem., Massachusetts Inst. Technol., Cambridge, MA 02139 USA). *J. Chem. Phys.* 1989, 90(10), 5563-5 (Eng). In this book a formula is given for direct calen. of rovibronic statistical wts. If it were correct, this formula would dramatically reduce the effort necessary to calc. statistical wts. in large mols. Unfortunately, due to a common misapplication of the Pauli principle, the formula derived is incorrect, as are the subsequent examples and problem solns. The correct formula derived in this paper is used to calc. statistical wts. for H₂, C₂H₄, and NH₃ which agree with those of G. H. Herzberg (1950), ~~C. H. Townes~~ and A. L. Schawlow (1975), and P. R. Bunker (1979).

Cham. rec
Kon. fp. yrob
rec



C.A. 1989, III, N10

1989

H₂

4 Д119. Вариационный расчет связанных состояний мезомолекул с орбитальным моментом $J=1$ и пространственной четностью $\lambda=+1$. Variational calculation of mesic molecule bound states with orbital momentum $J=1$ and spatial parity $\lambda=+1$ / Korobov V. I., Vinitsky S. I. // Препр. Объед. ин-т ядер. исслед., Дубна.—1989.— № Е4—89—665.— С. 1—3.— Англ.; рез. рус.

Выполнен вариац. расчет энергетич. уровней шести связанных состояний мезомолекул изотопов водорода с орбитальным моментом $J=1$ и пространственной четностью $\lambda=+1$. В расчетах использовалось около 900 базисных ф-ций, что позволило определить уровни энергии связи с точностью $\sim 0,002$ эВ. Автореферат

M.I.

φ. 1990, № 4

H_2

1989

112: 86935z Radiative transition probabilities of $a^3\Sigma_g^+$ $v \rightarrow b^3\Sigma_u^+$ transitions in hydrogen isotopes. Lavrov, B. P.; Loginev, A. V.; Prosikhin, V. P. (USSR). *Opt. Spektrosk.* 1989, 67(5), 1220-1 (Russ). In an adiabatic approxn., a calcn. was made of the spectral distributions of the probability $d\Lambda_\lambda(v)$ of spontaneous $a^3\Sigma_g^+, v \rightarrow b^3\Sigma_u^+$ radiative transitions of the H isotopes H_2 ($v = 0-9$), HD ($v = 0-7$), D_2 ($v = 0-12$), and T_2 ($v = 0-14$) in the wavelength range of $\lambda = 160-500$ nm with a pitch of 5 nm.

12.20.89

Periodic. No -

Melodja

③₂₇ HD,

Δ_λ , T_λ

C.A. 1990, 112, N10

H2 1989

ii2: 87087m Saturation effects in coherent anti-Stokes Raman scattering spectroscopy of hydrogen. Lucht, Robert P.; Farrow, Roger L. (Combust. Res. Facil., Sandia Natl. Lab., Livermore, CA 94551 USA). *J. Opt. Soc. Am. B: Opt. Phys.* 1989, 6(12), 2313-25 (Eng). Satn. of the CARS spectra of the Q(1) line of the hydrogen (1,0) vibrational transition was investigated exptl. by using high-resoln. lasers and theor. by solving the time-dependent d. matrix equations. The satn. behavior of hydrogen is complicated by the large Doppler width of the resonance and the high rate of velocity-changing collisions relative to dephasing collisions. Exptl., CARS line shapes and satn. curves were measured in pure H₂ at pressures of 100 and 3050 Torr. Surprisingly, the measured satn. intensity was less at 3050 torr than at 100 torr. The time-dependent d. matrix equations were numerically integrated to obtain CARS satn. curves and line shapes. Excellent agreement between calcd. and exptl. line shapes was obtained at both 100 and 3050 torr, and the predicted satn. intensity was less at 3050 Torr than at 100 torr. Based on the good agreement between theory and expt. obtained at 100 and 3050 Torr, the theor. results were extended over a much wider pressure range, from 0.1 to 100,000 torr. Below 1 torr the satn. behavior is

C.A. 1990, 112, N10

independent of pressure because collision times are long compared with times assocd. with laser excitation of the resonance, and the mol. response is completely transient. Between 1 and a few hundred torr the satn. intensity increases as the rate of velocity-changing collisions increases. Above a few hundred torr, however, the satn. intensity begins to decrease because the high rate of velocity-changing collisions ensures that all mols. couple effectively with the Raman-pumping lasers. Calens. show a min. in satn. intensity at 2000 torr. For even higher pressures, satn. is controlled by dephasing collisions, and the satn. intensity increases rapidly with pressure.

09131870

1989

22 Б1021. Комбинированные базисные наборы со связевыми и поляризационными функциями для точного неэмпирического расчета энергий диссоциации молекул AH_n ($A=Li$ до F). Combined bond polarization function basis sets for accurate ab initio calculation of the dissociation energies of AH_n molecules ($A=Li$ to F) / Martin J. M. L., François J. P., Gijbels R. // J. Comput. Chem.— 1989.— 10, № 2.— С. 152—162.— Англ.

Неэмпирическим методом ССП с учетом корреляции по теории возмущений Меллера—Плессета 4-го порядка вычислены геометрич. структура и энергия диссоциации молекул H_2 , LiH , BeH , BH_2 , CH_4 , NH_3 , H_2O , HF в основном электронном состоянии. В расчетах использовались предложенные авторами смешанные базисные наборы типа 6—31 ГФ с добавлением как поляризац. ф-ций (*d*-типа для центр. атомов 2-го периода, *p*-типа для H), так и ф-ций *sp*-типа, центрированных на связях. Полученные результаты близки к рассчитанным в

47

(47)

X. 1989, N 22

широких базисах с несколькими наборами поляризац.
ф-ций d - и f -типа; в то же время расчеты в предложен-
ных комбинированных базисах требуют значительно
меньших затрат времени ЭВМ (в 4—20 раз). Найдено,
что наилучшие результаты получаются без учета ошибок
суперпозиции базисных наборов по методу Бойса—
Бернарди.

В. К. Михалко



H₂

1989

110: 162617y Measurement of high Rydberg states and the ionization potential of hydrogen. McCormack, E.; Gilligan, J. M.; Cornaggia, C.; Eyler, E. E. (Dep. Phys., Yale Univ., New Haven, CT 06511 USA). *Phys. Rev. A: Gen. Phys.* 1989, 39(4), 2260-3 (Eng). Numerous transitions were measured from the *E,F* state of H₂ to the singlet np Rydberg states with an accuracy of 0.01 cm⁻¹. The data have been analyzed to obtain values for the ionization potential of H₂ relative to the *v* = 0, *N* = 0 and 1 levels of the *E,F* state. By combining these results with previous measurements of the *E,F* state, a value of 124,417.524 ± 0.015 cm⁻¹ is obtained for the ionization potential of H₂. This result is in good agreement with previous work but nearly an order of magnitude more accurate, and is very close to the best theor. value.

Puglyn-COON

c.A.1989, 110, n18

1989

10 Л 193. Измерения высоких ридберговских состояний и потенциала ионизации H_2 . Measurement of high Rydberg states and the ionization potential of H_2 / McCormack E., Gilligan J. M., Cornaggia C., Eyler E. E. // Phys. Rev. A. — 1989. — 39, № 4. — С. 2260—2263.— Англ.

Методом задержанной штарковской ионизации в молекулярном пучке измерены энергии ряда переходов из двухчленного состояния E, F молекулярного водорода в синглетные ридберговские состояния pr с точностью $0,01 \text{ см}^{-1}$. Из анализа результатов получено значение потенциала ионизации (ПИ) H_2 относительно уровней $v=0, N=0$ и 1 состояния E, F . С привлечением известных данных по состоянию E, F вычислено значение ПИ основного состояния водорода: $124417,524 \pm 0,015 \text{ см}^{-1}$, которое на порядок точнее существующего эксперим. значения ПИ и очень близко к наиболее точному теоретич. значению. Е. П. Смирнов

φ. 1989, № 10

H_2

1989

19 Б1033. Метод измерения верхних ридберговых состояний и потенциала ионизации H_2 . Measurement of high Rydberg states and the ionization potential of H_2 / McCormack E., Gilligan J. M., Cornaggia C., Eyler E. E. // Phys. Rev. A.—1989.—39, № 4.—C. 2260—2263.—Англ.

Экспериментально при действии импульсного лазера на сверхзвуковой молек. пучок получен спектр высокого разрешения и измерены частоты переходов из состояния $E, F \ ^1\Sigma_g^+$ молекулы H_2 в синглетные ридберговы состояния pr вплоть до $n=88$. Послед. экстраполяцией определен Пт ионизации H_2 . Уровни с $v=0$ или $N=0$ и 1 состояния E, F молекулы H_2 заселены с помощью двухфотонных переходов из основного состояния. Погрешности в положениях определяемых спектральных линий оценены в $0,01 \text{ см}^{-1}$. Полученный Пт ионизации равен $124417,524 \pm 0,015 \text{ см}^{-1}$.

А. В. Немухин

Х. 1989, N 19

H₂

[OM · 31622]

1989

D' Halloran M.A.,
Dehner P.M. et al.,

J. Chem. Phys., 1989,
90, N2, 930-948.

Double-resonance studies
of rotational autoioniza-

tion of H_2 .

H_2

1989

2 Б1010. Сравнение кривых потенциальной энергии состояния $X^1\Sigma_g^+$ H_2 и D_2 . A comparison between the potential energy curves for the $X^1\Sigma_g^+$ state of H_2 and D_2 / Pardo A., Poyato J. M. L., Camacho J. J., Martin E. // Spectrochim. acta A.— 1989.— 45, № 8.— С. 869—875.— Англ.

На основе спектроскопич. данных методом Ридберга—Клейна—Риса определены потенциальные кривые основного электронного состояния молекул H_2 и D_2 . Равновесные межъядерные расстояния H_2 и D_2 различаются на 0,00053 Å (0,74124 и 0,74071 Å соотв.). Рассмотрены разности эксперим. Пт H_2 и D_2 с учетом и без учета сдвига, связанного с различием в равновес-

(+) (D)



X. 1990, № 2.

ных межъядерных расстояниях. Разности эксперим. Пт H_2 и D_2 сопоставлены с разностями теор. Пт, учиты-
вающих адиабатич., релятивистские и радиац. поправ-
ки. Эксперим. и теор. разности близки между собой
при межъядерных расстояниях, меньших равновесного,
и существенно различаются при больших расстояниях.
Это различие связано с неадиабатич. эффектами.

А. А. Сафонов

H_2

1989

2 Д82. Сравнение потенциальных кривых состояния $X^1\Sigma_g^+$ молекул H_2 и D_2 между собой. A comparison between the potential energy curves for the $X^1\Sigma_g^+$ state of H_2 and D_2 / Pardo A., Poyato J. M. L., Camacho J. J., Martin E. // Spectrochim. acta. A.— 1989.— 45, № 8.— С. 869—875.— Англ.

Из экспериментальных колебательно-вращательных термов молекул H_2 и D_2 получены коэф. Данхэма для потенц. кривых основного электронного состояния $X^1\Sigma_g^+$. Для больших значений межъядерных расстояний потенц. кривые описывались потенциалом Ван-дер-Ваальса. Найденные потенц. ф-ции позволяют воспроизвести колебательный спектр H_2 и D_2 с точностью 1 см⁻¹. Проведено сравнение потенц. кривых H_2 и D_2 между собой, а также с кривыми, найденными в точных квантовомеханич. расчетах. Найдено, что максим. различие между потенциалами H_2 и D_2 наблюдается при межъядерном расстоянии 1 Å и достигает 30 см⁻¹.

А. И. Дементьев

ф. 1990, № 2

1989

2 Д83. Борн-оппенгеймеровская кривая потенциальной энергии для состояния $h^3\Sigma_g^+$ молекулы водорода.
The Born—Oppenheimer potential energy curve for the $h^3\Sigma_g^+$ state of the hydrogen molecule / Rychlewski Jacek // J. Mol. Spectrosc.— 1989.— 136, № 2.— С. 333—339.— Англ.

В приближении Борна—Оппенгеймера неэмпирически рассчитана потенц. кривая состояния $h(3s)^3\Sigma_g^+$ молекулы H_2 и получен набор спектроскопич. постоянных. Базис включал 70 компонент типа ф-ций Джеймса—Кулиджа, экспоненц. множители которых оптимизировались в четырех реперных точках. Численным методом Нумерова—Кули рассчитаны колебательные частоты для изотопомеров H_2 , HD и D_2 . По полученным данным проведено переотнесение эксперим. спектров изотопомеров молекулы водорода. Найденные спектроскопич. постоянные состояния $h^3\Sigma_g^+$ предполагается использовать для более точного расчета комплекса состояний $3d\Sigma\Delta$ молекулы водорода.

А. И. Дементьев

ф. 1990, № 2

H_2

1989

5 Б1016. Потенциальная кривая энергии состояния $h^3\Sigma_g^+$ молекулы водорода в приближении Борна—Оппенгеймера. The Born—Oppenheimer potential energy curve for the $h^3\Sigma_g^+$ state of the hydrogen molecule / Rychlewski J. // J. Mol. Spectrosc.— 1989.— 136, № 2.— С. 333—339.— Англ.

О использованием 70-членного разл. типа Джеймса—Кулиджа, содержащего члены, явно зависящие от межэлектронного расстояния, рассчитана потенциальная кривая состояния $h^3\Sigma_g^+$ в интервале межъядерных расстояний от 1,0 до 12,0 ат. ед. Найдены T_c , D_v и B_v ($I=0$, $v=0—3$ для H_2 и $v=0—5$ для D_2). Для колебат. квантов различие с эксперим. данными достигает 360 см^{-1} ($v=3$). Сделан вывод о необходимости проверки отнесения эксперим. данных. П. В. Ганелин

☒(4) D_2



Х. 1990, 112, N5